

**ЦИКЛИЧЕСКИЕ ТОЧЕЧНЫЕ ПРОЦЕССЫ  
С ОГРАНИЧЕННЫМ ПОСЛЕДЕЙСТВИЕМ  
ДЛЯ АНАЛИЗА ИМПУЛЬСНЫХ СИГНАЛОВ  
С СУЩЕСТВЕННОЙ ВАРИАБЕЛЬНОСТЬЮ РИТМА ИМПУЛЬСОВ**

© 2020 г. В. Е. Анциперов\*

*Институт радиотехники и электроники им. В.А. Котельникова РАН,  
ул. Моховая, 11, стр. 7, Москва, 125009 Российская Федерация*

*\*E-mail: anticperov@cplire.ru*

Поступила в редакцию 02.02.2020 г.

После доработки 02.02.2020 г.

Принята к публикации 12.02.2020 г.

Представлены результаты применения модели циклических точечных процессов с ограниченным последствием для анализа ритмических характеристик импульсных сигналов. Показано, что являясь обобщением рекуррентных и альтернирующих точечных процессов, циклические процессы позволяют описывать потоки событий более чем с двумя состояниями. Последнее обстоятельство существенно расширяет область их применения, в частности, на биомедицинские сигналы. В работе осуществлен вывод полного (локального) статистического описания циклических процессов, исследована асимптотика их поведения и приведено упрощенное статистическое описание для случая стационарных режимов. В последнем случае на основе локальной статистики получены аналитические выражения для среднего и второго смешанного моментов циклического процесса. В наиболее важном частном случае выяснена зависимость особенностей их структуры от временных масштабов динамики сигнала и от соотношений между масштабами.

DOI: 10.31857/S0033849420070013

**ВВЕДЕНИЕ**

Многие важные импульсные сигналы в природе и в технике являются результатом взаимодействия периодических процессов и связанных с ними случайных событий. Хотя реализации подобных сигналов сами не являются строго периодическими функциями, их средние статистические характеристики обладают свойством периодичности. Часто подобные сигналы называются *циклостационарными*, они встречаются в телекоммуникационных системах, радарах, телеметрии, астрономии, механике, эконометрии и биологии. Обширный список моделей, алгоритмов и приложений циклостационарных сигналов представлен в работе [1].

Для моделирования импульсных сигналов циклостационарного типа часто используются профильтрованные с некоторой импульсной передаточной функцией случайные точечные процессы. Широкий класс используемых для этих целей точечных процессов составляют так называемые точечные процессы с ограниченным последствием (в терминологии Ф.Я. Хинчина [2]). Процессы с ограниченным последствием являются далеко идущими обобщениями просто-

го пуассоновского процесса, наследующими от него свойство статистической независимости длительностей интервалов между импульсами. Одними из популярных семейств точечных процессов этого класса являются рекуррентные процессы [3], характеризующиеся одинаковым распределением длительностей интервалов. В теории систем массового обслуживания такие процессы также называются процессами восстановления [4]. Рекуррентные процессы нашли широкое применение в теориях связи, очередей, распределения ресурсов и т.д. Однако для задач моделирования сигналов биомедицинского происхождения, они оказались не вполне адекватными. Проблема состоит в том, что описываемые рекуррентными процессами потоки импульсов имеют постоянный средний ритм, а для биомедицинских сигналов свойственна вариабельность ритма во времени [5]. К счастью, эту проблему можно разрешить оставаясь в рамках класса процессов с ограниченным последствием. Это достигается на пути включения в анализ моделей циклических точечных процессов. Для циклических процессов условие одинакового распределения длительностей интервалов между импульсами заменяется условием циклическости их последовательных распределений [6].

Цель данной работы состоит в разработке  $L_2$  теории циклических точечных процессов с ограниченным последствием, подобной аналогичной теории для рекуррентных процессов, и анализа на основе характеристик второго смешанного момента циклических процессов временных масштабов ритма импульсных сигналов циклоstationарного типа.

## 1. КВАЗИСТАЦИОНАРНАЯ МОДЕЛЬ ИМПУЛЬСНЫХ СИГНАЛОВ

Зададим рабочую модель выделенного фрагмента импульсного сигнала  $z(t')$  в виде последовательности подобных по форме  $g(t')$  случайных импульсов на заданном весовом окне  $h(t')$  интервале:

$$z(t') = h(t' - t) \sum_{k=-\infty}^{+\infty} A_k g(t' - t_k), \quad (1)$$

где  $t$  – момент времени анализа, положение весового окна. Моменты времени появления импульсов  $\{t_k\}$  и соответствующие им амплитуды  $\{A_k\}$ ,  $-\infty < k < +\infty$ , предполагаются (бесконечными) совокупностями случайных величин, статистика которых детализируется ниже.

В отношении окна  $h(t')$  примем, что оно представляет собой некоторую положительную функцию, существенно отличную от нуля в области квазистационарности сигнала:

$$h(t') = \begin{cases} \geq 0, & |t'| < \Sigma \\ \approx 0, & |t'| \geq \Sigma \end{cases} \quad (2)$$

где величина  $2\Sigma$  представляет собой характерную длительность интервалов квазистационарности. Для определенности примем  $h(0) = 1$ .

Функцию формы импульса  $g(t')$  также будем считать существенно отличной от нуля на интервале длительности  $\sim 2\sigma$ :  $g(t') \approx 0$ ,  $|t'| \geq \sigma$ , но не обязательно положительной. Для определенности нормируем ее на единицу (в квадратичной норме):

$$\int g^2(t') dt' = 1 = \int |\gamma(f)|^2 df, \quad (3)$$

$$\gamma(f) = \int g(t') \exp(-2\pi jft') dt',$$

где  $j$  – мнимая единица. В (3) также представлена частотная характеристика  $\gamma(f)$  формы импульса  $g(t')$ , которая ввиду действительности последней является комплексной эрмитово-симметричной  $\gamma^*(f) = \gamma(-f)$  функцией частоты.

Известным фактом спектральной теории является то, что в случае  $\sigma \ll \Sigma$  ширина  $\Omega \sim 1/\sigma$  характеристики  $\gamma(f)$  (3) задает ширину частотного диапазона (полосу) всего сигнала  $z(t')$  (1). Далее

соотношение  $\sigma \ll \Sigma$  будем считать выполненным. Более того, будем считать  $\sigma \ll \bar{s}$ ,  $\bar{s} \ll \Sigma$ , где  $\bar{s}$  – средняя длительность интервала следования импульсов. Из  $\sigma \ll \bar{s}$  следует, что, помимо прочего, в (1) предполагается отсутствие существенного перекрытия импульсов. Неравенство же  $\bar{s} \ll \Sigma$ , означает, что на анализируемом фрагменте число импульсов существенно больше единицы. Далее параметр  $\bar{s}$  будет определен строго, пока же отметим, что с учетом сделанных предположений модель (1) характеризуется по крайней мере тремя временными масштабами  $\sigma \ll \bar{s} \ll \Sigma$ .

Предполагаемая многомасштабность сигнала  $z(t')$  (1) уже достаточна для анализа простых процедур его обработки, включая анализ специализированных представлений. Отметим, что при этом всегда остается возможность дальнейшего уточнения модели, посредством добавления в нее ряда деталей для более глубокого анализа конкретных случаев. В данной работе, выбирая между характеристиками модели такими, как общность и простота, с одной стороны, или специализация и сложность, с другой, будем в основном придерживаться первой альтернативы. С этой целью представим  $z(t')$  (1) в виде результата последовательных линейных операций над некоторым еще более простым импульсным сигналом – идеальным точечным процессом (сигналом)  $x(t')$ , см. работы [7–11]:

$$z(t') = h(t' - t) \times \{g(t') * x(t')\} =$$

$$= h(t' - t) \int g(t' - t'') x(t'') dt'', \quad (4)$$

$$x(t') = \sum_{k=-\infty}^{+\infty} A_k \delta(t' - t_k),$$

где  $\delta(t'')$  – дельта-функции Дирака, задающая форму импульсов  $x(t')$ . В отличие от  $z(t')$  (1) все временные масштабы процесса  $x(t')$  (4) связаны только со статистикой моментов времени импульсов  $\{t_k\}$ . Внутренний же  $\sigma$  и внешний  $\Sigma$  масштабы результирующего сигнала  $z(t')$  определяются характеристиками ядра  $g(t')$  операции свертки “\*” и окна  $h(t')$  операции взвешивания “×”, применяемых к точечному процессу  $x(t')$ . Отметим, что ввиду линейности перечисленных операций статистические моменты  $z(t')$  – первый  $m_t(t')$ , второй смешанный  $R_t(t', t'')$  и т.д. – также линейно связаны с соответствующими моментами  $x(t')$ :

$$m_t(t') = \overline{z(t')} = h(t' - t) \int g(t' - t'') \overline{x(t'')} dt'',$$

$$R_t(t', t'') = \overline{z(t') z(t'')} = H(t' - t, t'' - t) \times$$

$$\times \iint G(t' - t''', t'' - t''') \overline{x(t''')} x(t''') dt'''. \quad (5)$$

Здесь и далее чертой сверху обозначается операция усреднения. В (5) весовое окно  $H(t', t'') = h(t')h(t'')$  и ядро свертки  $G(t', t'') = g(t')g(t'')$  имеют на плоскости  $\{(t', t'')\}$  носители с теми же характерными размерами  $\sim \Sigma$  и  $\sigma$ .

В отношении статистики  $x(t')$  (4) примем следующие общие предположения. Будем считать совокупность моментов времени появления импульсов  $\{t_k\}$  и совокупность амплитуд  $\{A_k\}$  статистически независимыми друг от друга. Более того, будем считать все  $A_k$  независимыми в совокупности, одинаково распределенными случайными величинами с первым и вторым статистическими моментами, равными соответственно  $\bar{A}$  и  $\bar{A}^2$ . При этом первый и второй смешанные моменты сигнала  $x(t')$  (4) принимают вид

$$\begin{aligned} \overline{x(t')} &= \bar{A} \sum_{k=-\infty}^{+\infty} \overline{\delta(t' - t_k)}, \\ \overline{x(t')x(t'')} &= \bar{A}^2 \sum_{k=-\infty}^{+\infty} \overline{\delta(t' - t_k)\delta(t'' - t_k)} + \\ &+ \bar{A}^2 \sum_{k=-\infty}^{+\infty} \sum_{l=-\infty}^{+\infty} \overline{\delta(t' - t_l)\delta(t'' - t_k)}, \end{aligned} \quad (6)$$

где  $\sum_{l \neq k}^+$  означает суммирование по индексу  $l \neq k$ .

Из (6) следует, что для нахождения требуемых статистических моментов необходимо, по крайней мере, задание одно- и двумерных распределений вероятностей всех моментов времени  $t_k$  и всех пар  $(t_l, t_k)$ :

$$\begin{aligned} \overline{\delta(t' - t_k)} &= \int \delta(t' - t'') p_k(t'') dt'' = p_k(t'), \\ \overline{\delta(t' - t_k)\delta(t'' - t_k)} &= \\ &= \int \delta(t' - t''') \delta(t'' - t''') p_k(t''') dt''' = \\ &= p_k(t') \delta(t'' - t'), \\ \overline{\delta(t' - t_l)\delta(t'' - t_k)} &= \iint \delta(t' - t''') \delta(t'' - t''') \times \\ &= \times p_{lk}(t''', t''') dt''' dt'' = p_{lk}(t', t''), \end{aligned}$$

где  $p_k(t')$  и  $p_{lk}(t', t'')$  – плотности соответствующих распределений. С учетом введенных обозначений соотношения (6) можно записать в явном виде:

$$\begin{aligned} \overline{x(t')} &= \bar{A} \sum_{k=-\infty}^{+\infty} p_k(t'), \\ \overline{x(t')x(t'')} &= \bar{A}^2 \left[ \sum_{k=-\infty}^{+\infty} p_k(t') \right] \delta(t'' - t') + \\ &+ \bar{A}^2 \sum_{k=-\infty}^{+\infty} \sum_{l=-\infty}^{+\infty} p_{lk}(t', t''). \end{aligned} \quad (7)$$

Некоторого упрощения выражений в правых частях (7) можно добиться, если принять достаточно общее допущение об ординарности процесса  $x(t')$  [3]. Ординарность означает, что для интервалов времени малой длительности  $\Delta$  вероятность появления в них только одного импульса имеет первый порядок малости по  $\Delta$ :  $P_1(t, \Delta) \approx \lambda(t)\Delta$ , а двух и более импульсов – порядков выше первого:  $P_n(t, \Delta) = o(\Delta)$ ,  $n = 2, 3, \dots$ , где  $P_n(t, \Delta)$  – вероятность появления  $n$  импульсов в  $(t, t + \Delta)$ . Зависящий в общем случае от времени коэффициент  $\lambda(t) \geq 0$  носит название (средней) интенсивности потока импульсов [3]. Последнее обстоятельство связано с тем, что среднее число импульсов  $\bar{n}$  на интервале  $(t, t + \Delta)$  имеет следующее разложение по  $\Delta$ :

$$\begin{aligned} \bar{n}(t, t + \Delta) &= 0P_0(t, \Delta) + 1P_1(t, \Delta) + 2P_2(t, \Delta) + \\ &+ \dots = \lambda(t)\Delta + o(\Delta). \end{aligned}$$

Интенсивность  $\lambda(t)$  ординарного процесса напрямую связана с плотностями  $\{p_k(t)\}$  распределений вероятностей моментов импульсов  $\{t_k\}$ . Эта связь следует из того факта, что здесь события  $t_k \in (t, t + \Delta)$  для разных  $k$  несовместны, имеют вероятности  $p_k(t)\Delta$  и в совокупности составляют в точности событие появления одного импульса на этом интервале. Поэтому исходя из  $P_1(t, \Delta) = \sum_{k=-\infty}^{+\infty} p_k(t)\Delta = \lambda(t)\Delta$  получим

$$\lambda(t) = \sum_{k=-\infty}^{+\infty} p_k(t). \quad (8)$$

С учетом соотношения (8) выражения (7) для первого и второго смешанных статистических моментов  $x(t')$  принимают следующий окончательный вид:

$$\begin{aligned} \overline{x(t')} &= \bar{A}\lambda(t'), \quad \overline{x(t')x(t'')} = \\ &= \bar{A}^2\lambda(t')\delta(t'' - t') + \bar{A}^2 \sum_{k=-\infty}^{+\infty} \sum_{l=-\infty}^{+\infty} p_{lk}(t', t''). \end{aligned} \quad (9)$$

Для нахождения правых частей (9) (в конечном счете (5)) достаточно задания интенсивности  $\lambda(t')$  и совокупности двумерных плотностей  $\{p_{lk}(t', t'')\}$ . Однако ввиду известных условий согласованности распределений весьма желательно, чтобы все они были заданы не эвристически, а в рамках некоторого полного статистического описания случайных моментов  $\{t_k\}$ , содержащего все конечномерные плотности распределения вероятностей  $p_{l, \dots, k}(t_l, \dots, t_k)$ . В контексте задач оценивания параметров модели (1) подобное задание, как отмеча-

лось выше, не должно быть чрезмерно сложным, чтобы допускать построение (синтез) трактуемых, поддающихся простому анализу оценок. Очевидно, наиболее простым было бы предположение о статистической независимости моментов  $\{t_k\}$ . Однако в отличие от амплитуд  $\{A_k\}$  предположение о статистической независимости совокупности  $\{t_k\}$  для реалистических моделей является, как правило, сверхупрощением.

Следующим по сложности классом точечных процессов являются рекуррентные процессы [3], характеризующиеся статистической независимостью и одинаковым распределением (iid – independent and identically-distributed) не самих  $\{t_k\}$ , а длительностей  $\{s_k\}$ ,  $s_k = t_{k+1} - t_k \geq 0$ , интервалов между импульсами. В теории систем массового обслуживания такие процессы также называются процессами восстановления [4]<sup>1</sup>. Оказалось, однако, что хотя область применимости рекуррентных процессов и является достаточно широкой [3], она недостаточна для моделирования важных классов сигналов ряда современных приложений. Например, общепризнанным фактом является то, что для задач моделирования сигналов биомедицинского происхождения, рекуррентные процессы не вполне адекватны: описываемые ими потоки импульсов имеют постоянный средний ритм, а для биомедицинских сигналов характерна вариабельность ритма во времени [5].

К счастью, для решения проблемы моделирования сигналов с переменным ритмом оказалось возможным лишь несколько обобщить модель рекуррентных точечных процессов, оставаясь в рамках класса процессов с ограниченным последствием [2]. Это достигается на пути включения в анализ моделей циклических точечных процессов. Для циклических процессов сохраняется условие независимости интервалов  $\{s_k\}$ , но условие их одинакового распределения заменяется более слабым условием циклического повторения последовательных распределений [6].

Ввиду того, что класс точечных циклических процессов с ограниченным последствием используется в радиотехнических приложениях не так часто (за исключением альтернирующих процессов [4, 12]), напомним его место в семействе процессов с ограниченным последствием и дадим на этой основе его полное статистическое описание. Затем воспользуемся полным статистическим описанием циклических процессов для вывода используемого в дальнейшем локального описания асимптотического поведения процесса.

<sup>1</sup> Подробнее о терминологии в данной области см. примечание в работе [3, с. 100].

## 2. ЦИКЛИЧЕСКИЕ ТОЧЕЧНЫЕ ПРОЦЕССЫ С ОГРАНИЧЕННЫМ ПОСЛЕДЕЙСТВИЕМ

Широким семейством точечных процессов, описывающих потоки событий появления точек (узких импульсов) на временной оси в случайные моменты  $t_1 \leq t_2 \leq \dots < \infty$  начиная с некоторого неслучайного момента времени начала наблюдения  $t_0$ , являются процессы с ограниченным последствием. По определению А.Я. Хинчина [2] это процессы, у которых длительности интервалов между моментами событий  $s_0, \dots, s_k, \dots$ ,  $s_k = t_{k+1} - t_k$  независимы в совокупности и имеют заданные плотности распределения вероятностей  $\rho_0(s), \dots, \rho_k(s), \dots$ ;  $s \geq 0$ . Если все плотности, исключая  $\rho_0(s)$ , совпадают между собой:  $\rho_k(s) = \hat{\rho}(s)$ , то процесс называется рекуррентным (процессом восстановления). Можно показать [12], что если рекуррентный процесс является стационарным, то обязательно  $\rho_0(s)$  совпадает с сопряженной к  $\hat{\rho}(s)$  плотностью

$$\hat{\rho}(s) = \frac{1}{\bar{s}} \int_s^{+\infty} \hat{\rho}(s') ds',$$

где  $\bar{s}$  – математическое ожидание  $\hat{\rho}(s)$ .

Более того, асимптотически при неограниченном увеличении времени анализа  $t \rightarrow \infty$  всякий рекуррентный процесс по отношению к  $t$  как к началу наблюдения процесса становится стационарным и его интенсивность  $\lambda(t)$  асимптотически стремится к  $1/\bar{s}$  [1] (элементарная теорема восстановления). Отметим, что к рекуррентным процессам относится также простейший точечный процесс – однородный пуассоновский процесс, стационарный относительно любого момента времени  $t \geq t_0$ .

Простым обобщением рекуррентных процессов являются альтернирующие процессы (с ограниченным последствием) [4, 12]. Для этих процессов требование одинакового распределения интервалов заменяется требованиями одинаковых распределений с плотностью  $\hat{\rho}_0(s)$  четных интервалов и с плотностью  $\hat{\rho}_1(s)$  нечетных. Если  $\hat{\rho}_0(s)$  и  $\hat{\rho}_1(s)$  являются экспоненциальными функциями, то процесс является альтернирующим пуассоновским. Для альтернирующих процессов также выполняется соответствующее утверждение о асимптотической стационарности [4].

Следующим шагом обобщения является замена условия совпадения плотностей распределения вероятностей через событие, условием их совпадения через  $K$  событий ( $K$  – период цикличности). Такие процессы с ограниченным последствием называются циклическими [6] и задаются они наборами  $K$  плотностей распределения вероятностей  $\hat{\rho}_0(s), \hat{\rho}_1(s), \dots, \hat{\rho}_{K-1}(s)$ ,  $s \geq 0$ . Таким образом, для цикли-

ческих процессов имеет место  $\rho_k(s) = \hat{\rho}_{k \bmod K}(s)$  для произвольных  $k$ , где бинарная операция  $\bmod$  означает, как обычно, остаток от деления целого  $k$  на период  $K$ .

Удобно представлять себе циклический процесс как некоторую систему из  $K$  состояний  $\{0, 1, \dots, (K-1)\}$ , в которой состояния детерминированным образом циклически сменяют друг друга  $0 \rightarrow 1 \rightarrow \dots \rightarrow (K-1) \rightarrow 0 \rightarrow \dots$ , но эти смены происходят в случайные моменты времени, такие, что распределение вероятностей интервалов  $s_k$  между соседними моментами (времена пребывания в состояниях) зависит от номера состояния  $k$ . Если в этой интерпретации снять условие детерминированности переходов, то будет осуществлен переход к следующему обобщению – к определению полумарковских процессов [4].

Заметим, что для общих процессов с ограниченным последствием, ввиду  $t_{k+1} = t_0 + s_0 + \dots + s_k$  и независимости  $s_0, \dots, s_k$  в совокупности, условные плотности распределения моментов  $\{t_k\}$  обладают следующим марковским свойством:

$$\begin{aligned} \tilde{p}_{k+1|k, \dots, 1}(t_{k+1} | t_1, \dots, t_k) &= \rho_k(s_k | t_1, \dots, t_k) = \\ &= \rho_k(s_k | s_0, \dots, s_{k-1}) = \\ &= \rho_k(s_k) = \rho_k(t_{k+1} - t_k) = \tilde{p}_{k+1|k}(t_{k+1} | t_k). \end{aligned} \tag{10}$$

Для циклических процессов свойство (10) уточняется следующим образом:

$$\begin{aligned} \tilde{p}_{k+1|k, \dots, 1}(t_{k+1} | t_1, \dots, t_k) &= \hat{\rho}_{k \bmod K}(t_{k+1} - t_k) = \\ &= \tilde{p}_{k+1|k}(t_{k+1} | t_k). \end{aligned} \tag{11}$$

Используя это свойство, можно на основе цепного правила записать для циклических процессов следующие выражения конечномерных плотностей распределения вероятностей моментов  $\{t_k\}$  [12]:

$$\begin{aligned} \tilde{p}_{1, \dots, k+1}(t_1, \dots, t_{k+1}) &= \\ &= \hat{\rho}_0(t_1 - t_0) \prod_{i=1}^k \hat{\rho}_{i \bmod K}(t_{i+1} - t_i). \end{aligned} \tag{12}$$

Выражения (12) задают в общем виде структуру полного статистического описания циклических точечных процессов с ограниченным последствием. Однако для целей данной работы удобнее другое – локальное задание статистики процесса. Именно, выбирая произвольным образом момент времени анализа процесса  $t > t_0$ , перенумеруем последовательные моменты точек процесса относительно этого  $t$  следующим образом ( $l < 0 < l < k$ ):

$$-\infty < \dots \leq t'_l \leq \dots \leq t'_0 \leq t \leq t'_1 \leq \dots \leq t'_k < \dots < \infty,$$

где моменты  $t'_l$  с индексами  $l$ , значения которых меньше некоторого номера  $L \leq 0$ , полагаются равными начальному моменту времени  $t_0$ . Ис-

пользуя рассуждения, подобные применявшимся при выводе (8), с помощью (12) находятся плотности распределения вероятностей моментов в локальном описании  $\{t'_k\}$ . А именно, учтем, что событие, соответствующее заданной конечной последовательности моментов  $t'_l \leq \dots \leq t'_k$ , ( $t \in (t'_l, t'_k)$ ), может быть представлено в терминах исходного описания процесса  $t_1 \leq t_2 \leq \dots < \infty$  как сумма следующих несовместных событий: во-первых, события  $(t_1 = t'_1) \cap (t_2 = t'_{l+1}) \cap \dots \cap (t_{k-l+1} = t'_k)$ , во-вторых, события  $(t_2 = t'_1) \cap (t_3 = t'_{l+1}) \cap \dots \cap (t_{k-l+2} = t'_k)$  и т.д. Суммируя заданные описанием (12) плотности вероятностей этих событий, получим

$$\begin{aligned} p_{1, \dots, k}(t'_1, \dots, t'_k) &= \tilde{p}_{1, \dots, k-l+1}(t'_1, \dots, t'_k) + \\ &+ \tilde{p}_{2, \dots, k-l+2}(t'_1, \dots, t'_k) + \dots = \\ &= \tilde{p}_1(t'_1) \prod_{i=l}^{k-1} \hat{\rho}_{(i-l+1) \bmod K}(t'_{i+1} - t'_i) + \\ &+ \tilde{p}_2(t'_1) \prod_{i=l}^{k-1} \hat{\rho}_{(i-l+2) \bmod K}(t'_{i+1} - t'_i) + \dots = \\ &= \sum_{j=1}^K \left[ \sum_{q=0}^{\infty} \tilde{p}_{j+qK}(t'_1) \right] \prod_{i=l}^{k-1} \hat{\rho}_{(i-l+j) \bmod K}(t'_{i+1} - t'_i), \end{aligned} \tag{13}$$

где в соответствии с (12) использованы обозначения

$$\begin{aligned} \tilde{p}_1(t) &= \hat{\rho}_0(t - t_0), \\ \tilde{p}_2(t) &= \int_{t_0}^t \tilde{p}_{12}(t', t) dt' = \\ &= \int_{t_0}^t \hat{\rho}_1(t - t') \hat{\rho}_0(t' - t_0) dt', \end{aligned} \tag{14}$$

для одномерных плотностей вероятности  $\{\tilde{p}_k(t)\}$  моментов  $\{t_k\}$  в терминах исходного описания процесса. Кроме того, в (13) сгруппированы слагаемые с кратными периоду  $K$  номерами  $\{j + qK\}$ ,  $j = 1, \dots, K$ , поскольку в силу цикличности процесса все они имеют одинаковые сомножители при  $\tilde{p}_{j+qK}(t)$ . Если учесть, что при разных сомножителях в (13) ряды одномерных плотностей по форме подобны  $\lambda(t)$  (8), то естественно считать их парциальными интенсивностями процесса и обозначить как  $\lambda_j(t)$ :

$$\sum_{q=0}^{\infty} \tilde{p}_{j+qK}(t) = \lambda_j(t), \quad j = 1, \dots, K. \tag{15}$$

Парциальные интенсивности  $\{\lambda_j(t)\}$  можно интерпретировать как интенсивности версий исходного циклического процесса (с общим началом  $t_0$ ),

прореженных с периодом  $K$ , начиная с моментов  $t_j, j = 1, \dots, K$ . Нетрудно заметить, что все эти версии представляют собой обычные рекуррентные точечные процессы с разными начальными плотностями  $\rho_0(s)$ , но с одинаковой плотностью  $\hat{\rho}(s)$ , являющейся сверткой всех  $K$  плотностей  $\hat{\rho}_0(s), \hat{\rho}_1(s), \dots, \hat{\rho}_{K-1}(s)$ . Из теории рекуррентных процессов известно [12], что асимптотически, при  $t \rightarrow +\infty$ , вне зависимости от начальной плотности, интенсивность такого процесса стремится к постоянному пределу  $1/\bar{S}$ , где  $\bar{S}$  — математическое ожидание  $\hat{\rho}(s)$ . Поскольку математическое ожидание свертки есть сумма математических ожиданий  $\{\bar{s}_j\}$  ее сомножителей,  $\bar{S} = \bar{s}_0 + \dots + \bar{s}_{K-1}$ , асимптотический предел для всех  $\{\lambda_j(t)\}$  можно представить и как  $1/K\bar{s}$ , где  $\bar{s}$  есть средний интервал времени между точками процесса  $\bar{s} = (\bar{s}_0 + \dots + \bar{s}_{K-1})/K$ .

Из сделанных замечаний следует, что для циклических процессов при  $t \rightarrow +\infty$  конечномерные плотности распределения вероятностей  $p_{l, \dots, k}(t'_1, \dots, t'_k)$  (13) будут зависеть только от разностей последовательных аргументов  $(t'_{i+1} - t'_i)$ , т.е. асимптотически они становятся стационарными. Это свойство обобщает упоминавшиеся выше аналогичные факты для рекуррентного и альтернирующего процессов, являющихся частными случаями циклического.

Предполагая далее для циклического процесса асимптотику  $t \rightarrow +\infty$ , т.е. предполагая для него выполненным условие стационарности  $\lambda_j(t) = 1/K\bar{s}$ , перепишем статистическое задание (13) распределений наборов подряд идущих моментов времени с  $l$ -го по  $k$ -й ( $l \leq 0 < 1 \leq k$ ) в виде

$$p_{l, \dots, k}(t_1, \dots, t_k) = \frac{1}{K\bar{s}} \sum_{j=1}^K \prod_{i=l}^{k-1} \hat{\rho}_{(i-l+j) \bmod K}(t_{i+1} - t_i), \quad (16)$$

где использованы локальные относительно момента времени анализа  $t$  координаты  $t_i = t'_i - t, -\infty < i < \infty$ . При этом, очевидно, момент времени анализа процесса переносится в начало координат, и это предполагает его расположение между край-

ними моментами времени набора:  $t_l \leq 0$  и  $0 \leq t_k$ . Если в (16) произвести замену индекса  $j' = (j - l) \bmod K$ , то при суммировании по  $j$  новый индекс  $j'$  будет пробегать значения из  $\{0, \dots, K - 1\}$ , что позволяет плотности распределений вероятностей (16) переписать в следующем окончательном виде ( $l \leq 0 < 1 \leq k$ ):

$$p_{l, \dots, k}(t_1, \dots, t_k) = \frac{1}{K\bar{s}} \sum_{j=0}^{K-1} \prod_{i=l}^{k-1} \hat{\rho}_{(i+j) \bmod K}(t_{i+1} - t_i), \quad (17)$$

где возвращено обозначение индекса суммирования  $j' \rightarrow j$ . Отметим, что каждое слагаемое в (17) может интерпретироваться как совместная плотность распределения вероятности набора  $t_1, \dots, t_k$  и определенного состояния  $j$  процесса в момент времени анализа 0 (или в течение времени от  $t_0$  до  $t_1$ ).

Условие  $l \leq 0 < 1 \leq k$  для (17) не является ограничением для полного статистического задания процесса. С помощью (17) также можно вычислить конечномерные плотности наборов  $t_l \leq \dots \leq t_k$ , расположенных по одну сторону от нуля. Они вычисляются как маргинальные для распределений больших наборов подряд идущих моментов, содержащих в себе данный поднабор, но имеющих крайние моменты по разные стороны от нуля. Заметим, что поскольку при этом приходится интегрировать  $\hat{\rho}_j(t_1 - t_0)$  вдоль положительной  $t_1 \geq 0$  и/или отрицательной  $t_0 \leq 0$  полуосей, полезно заменить плотности  $\hat{\rho}_j(t_1 - t_0)$  выражениями  $\theta(t_1)\theta(-t_0)\hat{\rho}_j(t_1 - t_0)$  и интегрировать его уже вдоль полных осей координат  $-\infty < t_0 < \infty$  и  $-\infty < t_1 < \infty$ . При этом, поскольку  $\hat{\rho}_j(s) \equiv 0, s < 0$ , оказывается полезным следующее тождество:

$$\theta(t_1)\theta(-t_0)\hat{\rho}_j(t_1 - t_0) \equiv \theta(t_1)\hat{\rho}_j(t_1 - t_0) - \hat{\rho}_j(t_1 - t_0)\theta(t_0). \quad (18)$$

Найдем, например, одномерные плотности распределения  $p_k(t)$  для моментов времени  $t_k = t, k \geq 1$ , процесса. Для этого используем набор моментов  $t_0 \leq 0 \leq t_1 \leq \dots \leq t_{k-1} \leq t$  и проинтегрируем соответствующую ему плотность  $p_{0, \dots, k}(t_0, t_1, \dots, t_{k-1}, t)$  (17) по  $t_0$  от  $-\infty$  до 0 и по  $t_1 \leq \dots \leq t_{k-1}$  от 0 до  $t$ :

$$\begin{aligned} p_k(t) &= \frac{1}{K\bar{s}} \sum_{j=0}^{K-1} \int_0^t dt_1 \left[ \int_{-\infty}^0 dt_0 \hat{\rho}_j(t_1 - t_0) \right] \int_{t_1}^t dt_2 \hat{\rho}_{(j+1) \bmod K}(t_2 - t_1) \dots \\ &\dots \int_{t_{k-1}}^t dt_{k-1} \hat{\rho}_{(j+k-2) \bmod K}(t_{k-1} - t_{k-2}) \hat{\rho}_{(j+k-1) \bmod K}(t - t_{k-1}) = \\ &= \frac{1}{K\bar{s}} \sum_{j=0}^{K-1} \int_{-\infty}^{+\infty} dt_1 \theta(t_1) \left[ \int_{-\infty}^{+\infty} dt_0 \theta(-t_0) \hat{\rho}_j(t_1 - t_0) \right] \int_{-\infty}^{+\infty} dt_2 \hat{\rho}_{(j+1) \bmod K}(t_2 - t_1) \dots \\ &\dots \int_{-\infty}^{+\infty} dt_{k-1} \hat{\rho}_{(j+k-2) \bmod K}(t_{k-1} - t_{k-2}) \hat{\rho}_{(j+k-1) \bmod K}(t - t_{k-1}), \end{aligned} \quad (19)$$

где пределы всех интегралов заменены на бесконечные ввиду автоматического обращения подынтегральных выражений в нуль вне интервалов интегрирования  $t_{i-1} \leq t_i \leq t$  и искусственного введения функций Хэвисайда  $\theta(t_1)$  и  $\theta(-t_0)$  в первых двух интегралах.

Используя для интеграла по  $t_0$  в (19) тождество (18), получим

$$\begin{aligned} & \theta(t_1) \left[ \int_{-\infty}^{+\infty} dt_0 \theta(-t_0) \hat{\rho}_j(t_1 - t_0) \right] = \\ & = \theta(t_1) \int_{-\infty}^{+\infty} dt_0 \hat{\rho}_j(t_1 - t_0) - \int_0^{+\infty} dt_0 \hat{\rho}_j(t_1 - t_0) = \\ & = \theta(t_1) \int_{-\infty}^0 dt_0 \hat{\rho}_j(t_1 - t_0) = \\ & = \theta(t_1) \int_{t_1}^{+\infty} ds \hat{\rho}_j(s) = \bar{s}_j \hat{\varrho}_j(t_1), \end{aligned}$$

где использована сопряженная к  $\hat{\rho}_j(s)$  плотность  $\hat{\varrho}_j(t)$  (см. выше).

Подставляя полученное выражение в (19), окончательно получим

$$\begin{aligned} p_k(t) &= \sum_{j=0}^{K-1} \frac{\bar{s}_j}{K\bar{s}} \int_{-\infty}^{+\infty} dt_1 \hat{\varrho}_j(t_1) \int_{-\infty}^{+\infty} dt_2 \hat{\rho}_{(j+1)\text{mod}K}(t_2 - t_1) \dots \\ & \dots \int_{-\infty}^{+\infty} dt_{k-1} \hat{\rho}_{(j+k-2)\text{mod}K}(t_{k-1} - t_{k-2}) \times \\ & \times \hat{\rho}_{(j+k-1)\text{mod}K}(t - t_{k-1}). \end{aligned} \quad (20)$$

Частным случаем (20) является распределение первого момента  $t_1$  (последующего времени пребывания в состоянии на момент анализа), равное

$$p_1(t) = \sum_{j=0}^{K-1} \frac{\bar{s}_j}{K\bar{s}} \hat{\varrho}_j(t). \quad (21)$$

Отметим, что плотность (21) можно интерпретировать как формулу полной вероятности, если понимать под  $\hat{\varrho}_j(t)$  плотности условных распределений вероятностей находиться в течение времени  $t$ , начиная с нуля, в состоянии  $j$ , а под  $\bar{s}_j/K\bar{s} = \pi_j$  – безусловные вероятности оказаться в этом состоянии на момент времени анализа 0.

Из (20) следует, что все  $p_k(t)$  являются взвешенными (с весами  $\pi_j = \bar{s}_j/K\bar{s}$ ) суммами  $(k-1)$ -кратных сверток  $\hat{\varrho}_j(s)$  и последовательных  $(k-1)$  плотностей  $\hat{\rho}_{(j+1)\text{mod}K}(s), \dots, \hat{\rho}_{(j+k-1)\text{mod}K}(s)$ . Для компактной записи выражений, подобных (20), полезно ввести специальные обозначения  $C_j^{(k)}(t)$ ,  $j = 0, \dots, K-1$ , для  $k$ -кратных сверток

подряд следующих  $(k+1)$  плотностей  $\hat{\rho}_{(j)\text{mod}K}(s), \dots, \hat{\rho}_{(j+k)\text{mod}K}(s)$ ,  $k = 0, 1, \dots$  (понимая под 0-сверткой  $C_j^{(0)}(t) = \hat{\rho}_j(t)$ ):

$$\begin{aligned} C_j^{(k)}(t) &= \int_{-\infty}^{+\infty} dt_1 \hat{\rho}_{(j)\text{mod}K}(t_1) \int_{-\infty}^{+\infty} dt_2 \hat{\rho}_{(j+1)\text{mod}K}(t_2 - t_1) \dots \\ & \dots \int_{-\infty}^{+\infty} dt_k \hat{\rho}_{(j+k-1)\text{mod}K}(t_k - t_{k-1}) \times \\ & \times \hat{\rho}_{(j+k)\text{mod}K}(t - t_k). \end{aligned} \quad (22)$$

Функции  $C_j^{(k)}(t)$  (22), будучи плотностями распределений сумм  $(k+1)$  независимых положительных случайных величин, тождественно обращаются в нуль на отрицательной полуоси  $t < 0$ , а на положительной  $t > 0$  они положительны и нормированы на единицу. Кроме того, их средние и дисперсии равны суммам средних и суммам дисперсий всех входящих под свертку плотностей.

Доопределив  $C_j^{(k)}(t)$  для значений  $k = -1$  посредством  $C_j^{(-1)}(t) = \delta(t)$ ,  $j = 0, \dots, K-1$ , из (22) можно получить следующие рекуррентные соотношения:

$$C_j^{(k)}(t) = \int_{-\infty}^{+\infty} dt_1 \hat{\rho}_j(t_1) C_{(j+1)\text{mod}K}^{(k-1)}(t - t_1). \quad (23)$$

С учетом определений  $C_j^{(k)}(t)$  (22) одномерные плотности (20) принимают следующий более компактный вид:

$$\begin{aligned} p_k(t) &= \sum_{j=0}^{K-1} \frac{\bar{s}_j}{K\bar{s}} \int_{-\infty}^{+\infty} dt_1 \hat{\varrho}_j(t_1) C_{(j+1)\text{mod}K}^{(k-2)}(t - t_1) = \\ & = \sum_{j=0}^{K-1} \pi_j \hat{\varrho}_j^{(k)}(t), \end{aligned} \quad (24)$$

где

$$\hat{\varrho}_j^{(k)}(t) = \int_{-\infty}^{+\infty} dt' \hat{\varrho}_j(t') C_{(j+1)\text{mod}K}^{(k-2)}(t - t'), \quad (25)$$

могут интерпретироваться как плотности распределения условных вероятностей моментов  $t_k$ ,  $k > 0$ , при условии прохождения процесса через состояние  $j$  в момент времени анализа 0, а  $\pi_j = \bar{s}_j/K\bar{s}$  – как (безусловные) вероятности оказаться в этом состоянии. В частном случае  $k = 1$  из определения (25) следует  $\hat{\varrho}_j^{(1)}(t) = \hat{\varrho}_j(t)$ .

Просуммировав обе части (24) по  $k$  от 1 до  $\infty$ , в соответствии с (8) получим

$$\lambda_+(t) = \sum_{j=0}^{K-1} \frac{\bar{s}_j}{K\bar{s}} \sum_{k=1}^{+\infty} \int_{-\infty}^{+\infty} dt_1 \hat{\varrho}_j(t_1) C_{(j+1)\text{mod}K}^{(k-2)}(t - t_1).$$

Продифференцировав  $\lambda(t)$  и учитывая, что  $\bar{s}_j \hat{\rho}_j^*(t) = \delta(t) - \hat{\rho}_j(t)$ , получим

$$\lambda'_+(t) = \frac{1}{K\bar{s}} \sum_{j=0}^{K-1} \sum_{k=1}^{+\infty} [C_{(j+1) \bmod K}^{(k-2)}(t) - C_{(j) \bmod K}^{(k-1)}(t)] = \frac{1}{\bar{s}} \delta(t),$$

где также использованы рекуррентные соотношения (23). Интегрируя это соотношение с учетом  $p_k(t) \equiv 0$  при  $t < 0$ , получим  $\lambda_+(t) = \theta(t)/\bar{s}$ .

Все, что сделано выше для вероятностей  $p_k(t)$  моментов  $t_k = t, k \geq 1$  с равным успехом может

быть повторено и для вероятностей  $p_l(t)$  моментов  $t_l = t, l \leq 0$ . Для этого возьмем набор  $t_l \leq t_{l+1} \leq \dots \leq t_0 \leq 0 \leq t_1$  и проинтегрируем соответствующую ему плотность  $p_{l, \dots, 1}(t, t_{l+1}, \dots, t_0, t_1)$  (17) по  $t_1$  от 0 до  $\infty$  и по  $t_{l+1} \leq \dots \leq t_0$  от  $t$  до 0:

$$\begin{aligned} p_l(t) &= \frac{1}{K\bar{s}} \sum_{j=0}^{K-1} \int_t^0 dt_0 \left[ \int_0^{+\infty} dt_1 \hat{\rho}_j(t_1 - t_0) \right] \int_t^{t_0} dt_{-1} \hat{\rho}_{(j-1) \bmod K}(t_0 - t_{-1}) \dots \\ &\quad \dots \int_t^{t_{l+2}} dt_{l+1} \hat{\rho}_{(j+l+1) \bmod K}(t_{l+2} - t_{l+1}) \hat{\rho}_{(j+l) \bmod K}(t_{l+1} - t) = \\ &= \frac{1}{K\bar{s}} \sum_{j=0}^{K-1} \int_{-\infty}^{+\infty} dt_0 \theta(-t_0) \left[ \int_{-\infty}^{+\infty} dt_1 \theta(t_1) \hat{\rho}_j(t_1 - t_0) \right] \int_{-\infty}^{+\infty} dt_{-1} \hat{\rho}_{(j-1) \bmod K}(t_0 - t_{-1}) \dots \\ &\quad \dots \int_{-\infty}^{+\infty} dt_{l+1} \hat{\rho}_{(j+l+1) \bmod K}(t_{l+2} - t_{l+1}) \hat{\rho}_{(j+l) \bmod K}(t_{l+1} - t), \end{aligned} \tag{26}$$

где пределы всех интегралов заменены на бесконечные ввиду автоматического обращения подынтегральных выражений в нуль вне интервалов интегрирования  $t \leq t_i \leq t_{i+1}$  и искусственного введения функций Хэвисайда  $\theta(t_1)$  и  $\theta(-t_0)$  в первых двух интегралах.

Используя для интеграла по  $t_1$  в (26) тождество (18), получим

$$\begin{aligned} &\theta(-t_0) \left[ \int_{-\infty}^{+\infty} dt_1 \theta(t_1) \hat{\rho}_j(t_1 - t_0) \right] = \\ &= \int_0^{+\infty} dt_1 \hat{\rho}_j(t_1 - t_0) - \theta(t_0) \int_{-\infty}^{+\infty} dt_1 \hat{\rho}_j(t_1 - t_0) = \\ &= [1 - \theta(t_0)] \int_0^{+\infty} dt_1 \hat{\rho}_j(t_1 - t_0) = \\ &= \theta(-t_0) \int_{-t_0}^{+\infty} ds \hat{\rho}_j(s) = \bar{s}_j \varrho_j(-t_0). \end{aligned}$$

Подставляя полученное выражение в (26), окончательно получим

$$\begin{aligned} p_l(t) &= \sum_{j=0}^{K-1} \frac{\bar{s}_j}{K\bar{s}} \int_{-\infty}^{+\infty} dt_0 \hat{\rho}_j(-t_0) \times \\ &\quad \times \int_{-\infty}^{+\infty} dt_{-1} \hat{\rho}_{(j-1) \bmod K}(t_0 - t_{-1}) \dots \\ &\quad \dots \int_{-\infty}^{+\infty} dt_{l+1} \hat{\rho}_{(j+l+1) \bmod K}(t_{l+2} - t_{l+1}) \hat{\rho}_{(j+l) \bmod K}(t_{l+1} - t). \end{aligned} \tag{27}$$

Частным случаем (27) является распределение нулевого момента  $t_0$  (предшествующего времени пребывания в состоянии на момент анализа):

$$p_0(t) = \sum_{j=0}^{K-1} \frac{\bar{s}_j}{K\bar{s}} \hat{\rho}_j(-t). \tag{28}$$

Плотность (28) можно интерпретировать как формулу полной вероятности, понимая под  $\hat{\rho}_j(-t)$  плотности условных вероятностей находиться в течение времени  $(-t)$  вплоть до нуля в состоянии  $j$ , а под  $\bar{s}_j/K\bar{s} = \pi_j$  — безусловные вероятности оказаться в состоянии  $j$  в момент времени анализа 0.

Из (27) следует, что все  $p_l(t)$  являются взвешенными суммами  $(-l)$ -кратных сверток  $\hat{\rho}_j(s)$  и предшествующих в обратном порядке плотностей  $\hat{\rho}_{(j-1) \bmod K}(s), \dots, \hat{\rho}_{(j+l) \bmod K}(s)$ . Для компактной записи выражений, подобных (27), полезно ввести специальные обозначения  $D_j^{(k)}(t), j = 0, \dots, K-1$ , для  $k$ -кратных сверток подряд следующих в обратном порядке  $(k+1)$  плотностей  $\hat{\rho}_{(j) \bmod K}(s), \dots, \hat{\rho}_{(j-k) \bmod K}(s), k = 0, 1, \dots$  (понимая под 0-сверткой  $D_j^{(0)}(t) = \hat{\rho}_j(t)$ ):

$$\begin{aligned} D_j^{(k)}(t) &= \int_{-\infty}^{+\infty} dt_1 \hat{\rho}_{(j) \bmod K}(t_1) \int_{-\infty}^{+\infty} dt_2 \hat{\rho}_{(j-1) \bmod K}(t_2 - t_1) \dots \\ &\quad \dots \int_{-\infty}^{+\infty} dt_k \hat{\rho}_{(j-k+1) \bmod K}(t_k - t_{k-1}) \hat{\rho}_{(j-k) \bmod K}(t - t_k). \end{aligned} \tag{29}$$



Функции  $D_j^{(k)}(t)$  (29), будучи плотностями распределений сумм  $(k + 1)$  независимых положительных случайных величин, тождественно обращаются в нуль на отрицательной полуоси  $t < 0$ , а на положительной  $t > 0$  они положительны и нормированы на единицу. Кроме того, их средние и дисперсии равны суммам средних и суммам дисперсий всех входящих под свертку плотностей.

Сравнивая определения  $D_j^{(k)}(t)$  (29) и  $C_j^{(k)}(t)$  (22), легко заметить, что

$$D_j^{(k)}(t) = C_{(j-k) \bmod K}^{(k)}(t). \quad (30)$$

Просуммировав соотношения (30) по  $j$  от 0 до  $K - 1$ , получим тождество

$$\sum_{j=0}^{K-1} D_j^{(k)}(t) = \sum_{j=0}^{K-1} C_j^{(k)}(t). \quad (31)$$

Доопределив  $D_j^{(k)}(t)$  для значений  $k = -1$  посредством  $D_j^{(-1)}(t) = \delta(t)$ ,  $j = 0, \dots, K - 1$ , из (29) можно получить следующие рекуррентные соотношения:

$$D_j^{(k)}(t) = \int_{-\infty}^{\infty} dt_1 \hat{p}_j(t_1) D_{(j-1) \bmod K}^{(k-1)}(t - t_1). \quad (32)$$

С учетом определения  $D_j^{(k)}(t)$  (29) одномерные плотности (27) принимают следующий более компактный вид:

$$p_l(t) = \sum_{j=0}^{K-1} \frac{\bar{s}_j}{K\bar{s}} \int_{-\infty}^{\infty} dt_0 \hat{p}_j(t_0) D_{(j-1) \bmod K}^{(-l-1)}(-t - t_0) = \sum_{j=0}^{K-1} \pi_j \hat{p}_j^{(l)}(-t), \quad (33)$$

где

$$\hat{p}_j^{(l)}(t) = \int_{-\infty}^{\infty} dt' \hat{p}_j(t') D_{(j-1) \bmod K}^{(-l-1)}(t - t') \quad (34)$$

могут интерпретироваться как плотности распределения условных вероятностей моментов  $t_l$ ,  $l \leq 0$ , при условии прохождения процесса через состояние  $j$  в момент времени анализа 0, а  $\pi_j = \bar{s}_j / K\bar{s}$  — как (безусловные) вероятности оказаться в этом состоянии. В частном случае,  $l = 0$ , из определения (34) следует  $\hat{p}_j^{(0)}(t) = \hat{p}_j(t)$ .

Просуммировав обе части (33) по  $l$  от  $-\infty$  до 0, в соответствии с (8) получим

$$\lambda_{-}(t) = \sum_{j=0}^{K-1} \frac{\bar{s}_j}{K\bar{s}} \sum_{l=-\infty}^0 \int_{-\infty}^{\infty} dt \hat{p}_j(t_0) D_{(j-1) \bmod K}^{(-l-1)}(-t - t_0).$$

Продифференцировав  $\lambda_{-}(t)$  и учитывая, что  $\bar{s}_j \hat{p}_j'(t) = \delta(t) - \hat{p}_j(t)$ , получим

$$\lambda_{-}'(t) = \frac{1}{K\bar{s}} \times \sum_{j=0}^{K-1} \sum_{l=-\infty}^0 \left[ D_{(j) \bmod K}^{(-l)}(-t) - D_{(j-1) \bmod K}^{(-l-1)}(-t) \right] = -\frac{1}{\bar{s}} \delta(t),$$

где также использованы рекуррентные соотношения (32). Интегрируя это соотношение с учетом  $p_l(t) \equiv 0$  при  $t > 0$ , получим  $\lambda_{-}(t) = \theta(-t) / \bar{s}$ .

Исходя из того, что  $\lambda(t') = \lambda_{-}(t') + \lambda_{+}(t')$  для всех  $t'$ , получаем, что первый момент (среднее) стационарного циклического процесса  $x(t')$  (9) в явном виде есть:

$$\overline{x(t')} = \bar{A} \lambda(t') = \frac{\bar{A}}{\bar{s}} = \bar{x}. \quad (35)$$

### 3. ВТОРОЙ МОМЕНТ СТАЦИОНАРНОГО ЦИКЛИЧЕСКОГО ПРОЦЕССА В ЛОКАЛЬНОЙ ВЕРСИИ

Возвращаясь к соотношениям (9), найдем на основе локального описания (17) двумерные плотности распределения вероятностей  $p_{lk}(t', t'')$ ,  $l \neq k$ . Воспользуемся методом, подобным использованному в предыдущем разделе при нахождении одномерных распределений  $p_k(t)$ , где случаи  $k \geq 1$  и  $k \leq 0$  рассматривались отдельно. Для определенности найдем  $p_{lk}(t', t'')$  при  $l < k$ , дополнительный случай  $k < l$  получается в результате одновременных перестановок  $k \leftrightarrow l$  и  $t' \leftrightarrow t''$ . Таким образом, рассмотрим три случая: А)  $l < k \leq 0$ , Б)  $l \leq 0 < k$  и В)  $1 \leq l < k$ .

Случай А:  $l < k \leq 0$ .

В группе моментов

$$-\infty < t' = t_l \leq t_{l+1} \leq \dots \leq t_{k-1} \leq t_k = t'' \leq t_{k+1} \leq \dots \leq t_0 \leq 0 \leq t_1 < +\infty$$

проинтегрируем соответствующую плотность (17) по моменту  $t_l$  от 0 до  $\infty$ , по  $t_{k+1} \leq \dots \leq t_0$  от  $t''$  до 0 и по  $t_{l+1} \leq \dots \leq t_{k-1}$  от  $t'$  до  $t''$ :

$$p_{lk}(t', t'') = \frac{1}{K\bar{s}} \sum_{j=0}^{K-1} \int_{t''}^0 dt_0 \left[ \int_0^{\infty} dt_1 \hat{p}_{(j) \bmod K}(t_1 - t_0) \right] \times \int_{t''}^{t_0} dt_{-1} \hat{p}_{(j-1) \bmod K}(t_0 - t_{-1}) \dots \int_{t''}^{t_{k+2}} dt_{k+1} \hat{p}_{(j+k+1) \bmod K}(t_{k+2} - t_{k+1}) \times \hat{p}_{(j+k) \bmod K}(t_{k+1} - t'') \int_{t'}^{t''} dt_{k-1} \hat{p}_{(j+k-1) \bmod K}(t'' - t_{k-1}) \dots \int_{t'}^{t_{l+2}} dt_{l+1} \hat{p}_{(j+l+1) \bmod K}(t_{l+2} - t_{l+1}) \hat{p}_{(j+l) \bmod K}(t_{l+1} - t'). \quad (36)$$

Воспользовавшись выведенным ранее соотношением

$$\theta(-t_0) \left[ \int_{-\infty}^{+\infty} dt_1 \theta(t_1) \hat{\rho}_j(t_1 - t_0) \right] = \bar{s}_j \hat{\rho}_j(-t_0),$$

а также соотношениями (29) и (34), перепишем (36) в компактном виде:

$$p_{lk}(t', t'') = \frac{1}{K\bar{s}} \sum_{j=0}^{K-1} \bar{s}_j \hat{\rho}_j^{(k)}(-t'') D_{(j+k-1) \bmod K}^{(k-l-1)}(t'' - t'), \quad (37)$$

откуда следует, что  $p_{lk}(t', t'')$ ,  $l < k \leq 0$ , отлична от нуля при  $t' \leq t'' \leq 0$ .

*Случай Б:*  $0 \leq l < k$ .

В группе моментов

$$\begin{aligned} -\infty < t_0 \leq 0 \leq t_1 \leq \dots \leq t_{l-1} \leq t_l = \\ = t' \leq t_{l+1} \leq \dots \leq t_{k-1} \leq t_k = t'' < +\infty \end{aligned}$$

проинтегрируем соответствующую плотность (17) по моменту  $t_0$  от  $-\infty$  до 0, по  $t_1 \leq \dots \leq t_{l-1}$  от 0 до  $t'$  и по  $t_{l+1} \leq \dots \leq t_{k-1}$  от  $t'$  до  $t''$ :

$$\begin{aligned} p_{lk}(t', t'') = \\ = \frac{1}{K\bar{s}} \sum_{j=0}^{K-1} \int_0^{t'} dt_1 \left[ \int_{-\infty}^0 dt_0 \hat{\rho}_{(j) \bmod K}(t_1 - t_0) \right] \times \\ \times \int_{t_1}^{t'} dt_2 \hat{\rho}_{(j+1) \bmod K}(t_2 - t_1) \dots \\ \dots \int_{t_{l-2}}^{t_{l-1}} dt_{l-1} \hat{\rho}_{(j+l-2) \bmod K}(t_{l-1} - t_{l-2}) \times \\ \times \hat{\rho}_{(j+l-1) \bmod K}(t' - t_{l-1}) \int_{t'}^{t''} dt_{l+1} \hat{\rho}_{(j+l) \bmod K}(t_{l+1} - t') \dots \\ \times \int_{t_{k-2}}^{t''} dt_{k-1} \hat{\rho}_{(j+k-2) \bmod K}(t_{k-1} - t_{k-2}) \times \\ \times \hat{\rho}_{(j+k-1) \bmod K}(t'' - t_{k-1}). \end{aligned} \quad (38)$$

Воспользовавшись выведенным ранее соотношением

$$\theta(t_1) \left[ \int_{-\infty}^{+\infty} dt_0 \theta(-t_0) \hat{\rho}_j(t_1 - t_0) \right] = \bar{s}_j \hat{\rho}_j(t_1),$$

а также соотношениями (22) и (25), перепишем (38) в компактном виде:

$$p_{lk}(t', t'') = \frac{1}{K\bar{s}} \sum_{j=0}^{K-1} \bar{s}_j \hat{\rho}_j^{(l)}(t') C_{(j+l) \bmod K}^{(k-l-1)}(t'' - t'), \quad (39)$$

откуда следует, что  $p_{lk}(t', t'')$ ,  $0 \leq l < k$  отлична от нуля при  $0 \leq t' \leq t''$ .

*Случай В:*  $l \leq 0 < k$ .

В группе моментов

$$\begin{aligned} -\infty < t' = t_l \leq t_{l+1} \leq \dots \leq t_0 \leq 0 \leq t_1 \leq \dots \\ \dots \leq t_{k-1} \leq t_k = t'' < +\infty \end{aligned}$$

проинтегрируем соответствующую плотность (17) по моментам  $t_{l+1} \leq \dots \leq t_0$  от  $t'$  до 0 и по  $t_1 \leq \dots \leq t_{k-1}$  от 0 до  $t''$ :

$$\begin{aligned} p_{lk}(t', t'') = \frac{1}{K\bar{s}} \sum_{j=0}^{K-1} \int_{t'}^0 dt_0 \int_0^{t''} dt_1 \hat{\rho}_{(j) \bmod K}(t_1 - t_0) \times \\ \times \int_{t'}^{t_0} dt_{-1} \hat{\rho}_{(j-1) \bmod K}(t_0 - t_{-1}) \dots \\ \dots \int_{t'}^{t_{l+2}} dt_{l+1} \hat{\rho}_{(j+l+1) \bmod K}(t_{l+2} - t_{l+1}) \times \\ \times \hat{\rho}_{(j+l) \bmod K}(t_{l+1} - t') \int_{t_1}^{t''} dt_2 \hat{\rho}_{(j+1) \bmod K}(t_2 - t_1) \dots \\ \dots \int_{t_{k-2}}^{t''} dt_{k-1} \hat{\rho}_{(j+k-2) \bmod K}(t_{k-1} - t_{k-2}) \times \\ \times \hat{\rho}_{(j+k-1) \bmod K}(t'' - t_{k-1}). \end{aligned} \quad (40)$$

Воспользовавшись (22) и (29), перепишем (40) в компактном виде:

$$\begin{aligned} p_{lk}(t', t'') = \frac{1}{K\bar{s}} \sum_{j=0}^{K-1} \int_{-\infty}^0 dt_0 \int_0^{+\infty} dt_1 \hat{\rho}_{(j) \bmod K}(t_1 - t_0) \times \\ \times D_{(j-1) \bmod K}^{(-l-1)}(t_0 - t') C_{(j+1) \bmod K}^{(k-2)}(t'' - t_1), \end{aligned} \quad (41)$$

откуда следует, что  $p_{lk}(t', t'')$ ,  $l \leq 0 < k$  отлична от нуля при  $t' \leq 0 \leq t''$ .

Далее, используя соотношение (18) и рекуррентные тождества (23) и (32), окончательно получим

$$\begin{aligned} p_{lk}(t', t'') = \\ = \frac{1}{K\bar{s}} \sum_{j=0}^{K-1} \int_0^{+\infty} dt_1 C_{(j+1) \bmod K}^{(k-2)}(t'' - t_1) D_{(j) \bmod K}^{(-l)}(t_1 - t') - \\ - \frac{1}{K\bar{s}} \sum_{j=0}^{K-1} \int_0^{+\infty} dt_0 C_{(j) \bmod K}^{(k-1)}(t'' - t_0) D_{(j-1) \bmod K}^{(-l-1)}(t_0 - t'). \end{aligned} \quad (42)$$

Для дальнейших целей полезно ввести набор связанных с  $C_j^{(k)}(t)$  (22) и  $D_j^{(k)}(t)$  (29) функций  $c_j(t)$ ,  $d_j(t)$   $j = 0, \dots, K-1$ :

$$c_j(t) = \sum_{k=0}^{\infty} C_j^{(k)}(t), \quad d_j(t) = \sum_{k=0}^{\infty} D_j^{(k)}(t). \quad (43)$$

Функции  $c_j(t)$  и  $d_j(t)$  (43) тождественно обращаются в нуль на отрицательной полуоси  $t < 0$ , а на положительной  $t > 0$  они положительны, но не нормированы, т.е. не являются плотностями распределения вероятностей. Из соотношений (31) можно получить следующую связь между ними:

$$\begin{aligned} \frac{1}{K} \sum_{j=0}^{K-1} c_j(t) &= b(t) = \frac{1}{K} \sum_{j=0}^{K-1} d_j(t), \\ b(t) &= \sum_{k=0}^{\infty} \frac{1}{K} \sum_{j=0}^{K-1} C_j^{(k)}(t) = \sum_{k=0}^{\infty} \frac{1}{K} \sum_{j=0}^{K-1} D_j^{(k)}(t). \end{aligned} \tag{44}$$

Для определения второго момента  $\overline{x(t')x(t'')}$  согласно (9) необходимо найти двойную сумму

$$\sum_{k=-\infty}^{+\infty} \sum_{l=-\infty}^{+\infty} p_{lk}(t', t'').$$

Разобьем сумму на четыре слагаемых: **A'**)  $l, k \leq 0$ , **B'**)  $l, k \geq 1$ , **B''**)  $l \leq 0, k \geq 1$ , **B'''**)  $l \geq 1, k \leq 0$  и в соответствии с результатами рассмотренных выше случаев А–В найдем их.

**A'**. Сумма  $S_{--}(t', t'') = \sum_{k=-\infty}^{+0} \sum_{l=-\infty}^{0} p_{lk}(t', t'')$ :

$$\begin{aligned} S_{--}(t', t'') &= \sum_{k=-\infty}^0 \sum_{l=-\infty}^{k-1} p_{lk}(t', t'') + \\ &+ \sum_{l=-\infty}^0 \sum_{k=-\infty}^{l-1} p_{lk}(t', t'') = \frac{1}{K} \sum_{k=-\infty}^0 \frac{1}{S} \sum_{j=0}^{K-1} \bar{s}_j \hat{\varrho}_j^{(k)}(-t'') \times \\ &\times \sum_{m=0}^{+\infty} D_{(j+k-1) \bmod K}^{(m)}(t'' - t') + \frac{1}{K} \sum_{l=-\infty}^0 \frac{1}{S} \sum_{j=0}^{K-1} \bar{s}_j \hat{\varrho}_j^{(l)}(-t') \sum_{m=0}^{+\infty} D_{(j+l-1) \bmod K}^{(m)}(t' - t'') = \\ &= \frac{1}{K} \sum_{j=0}^{K-1} d_j(t'' - t') \frac{1}{S} \sum_{k=-\infty}^0 \bar{s}_{(j-k+1) \bmod K} \hat{\varrho}_{(j-k+1) \bmod K}^{(k)}(-t'') + \\ &+ \frac{1}{K} \sum_{j=0}^{K-1} d_j(t' - t'') \frac{1}{S} \sum_{l=-\infty}^0 \bar{s}_{(j-l+1) \bmod K} \hat{\varrho}_{(j-l+1) \bmod K}^{(l)}(-t') = \\ &= \frac{1}{K} \sum_{j=0}^{K-1} d_j(t'' - t') \mu_j(t'') + \frac{1}{K} \sum_{j=0}^{K-1} d_j(t' - t'') \mu_j(t'), \end{aligned}$$

где введено  $\mu_j(t) = \frac{1}{S} \sum_{k=0}^{+\infty} \bar{s}_{(j+k+1) \bmod K} \hat{\varrho}_{(j+k+1) \bmod K}^{(-k)}(-t)$ .

С учетом определения  $\hat{\varrho}_j^{(l)}(t), l \leq 0$  (34):

$$\begin{aligned} \mu_j(t) &= \frac{1}{S} \sum_{k=0}^{+\infty} \bar{s}_{(j+k+1) \bmod K} \int_{-\infty}^{\infty} dt' \hat{\varrho}_{(j+k+1) \bmod K}(t') \times \\ &\times D_{(j+k) \bmod K}^{(k-1)}(-t - t'). \end{aligned}$$

Продифференцируем  $\mu_j(t)$  с учетом  $\bar{s}_j \hat{\varrho}_j^{(1)}(t) = \delta(t) - \hat{\rho}_j(t)$ :

$$\begin{aligned} \mu_j'(t) &= \frac{1}{S} \sum_{k=0}^{+\infty} \bar{s}_{(j+k+1) \bmod K} \left[ \hat{\varrho}_{(j+k+1) \bmod K}(t') D_{(j+k) \bmod K}^{(k-1)}(-t - t') \right]_{-\infty}^{+\infty} - \\ &- \frac{1}{S} \sum_{k=0}^{+\infty} \int_{-\infty}^{\infty} dt' [\delta(t') - \hat{\rho}_{(j+k+1) \bmod K}(t')] D_{(j+k) \bmod K}^{(k-1)}(-t - t') = \\ &= -\frac{1}{S} \sum_{k=0}^{+\infty} \left[ D_{(j+k) \bmod K}^{(k-1)}(-t) - \int_{-\infty}^{\infty} dt' \hat{\rho}_{(j+k+1) \bmod K}(t') D_{(j+k) \bmod K}^{(k-1)}(-t - t') \right] = \\ &= -\frac{1}{S} \sum_{k=0}^{+\infty} \left[ D_{(j+k) \bmod K}^{(k-1)}(-t) - D_{(j+k+1) \bmod K}^{(k)}(-t) \right] = -\frac{1}{S} \delta(t), \end{aligned}$$

где было использовано рекуррентное тождество (32). Интегрируя  $\mu'_j(t)$  и учитывая, что  $\mu_j(t) \equiv 0$  при  $t > 0$ , получим  $\mu_j(t) = \theta(-t)/\bar{s}$ . С учетом этого имеем

$$S_{--}(t', t'') = \frac{1}{\bar{s}} \theta(-t'') b(t'' - t') + \frac{1}{\bar{s}} \theta(-t') b(t' - t'') = \frac{1}{\bar{s}} \theta(-t') \theta(-t'') b(|t'' - t'|). \tag{45}$$

**Б'.** Сумма  $S_{++}(t', t'') = \sum_{k=1}^{+\infty} \sum_{l=1}^{l'+\infty} p_{lk}(t', t'')$ :

$$\begin{aligned} S_{++}(t', t'') &= \sum_{k=1}^{+\infty} \sum_{l=k+1}^{+\infty} p_{lk}(t', t'') + \sum_{l=1}^{+\infty} \sum_{k=l+1}^{+\infty} p_{lk}(t', t'') = \frac{1}{K} \sum_{k=1}^{+\infty} \frac{1}{\bar{s}} \sum_{j=0}^{K-1} \bar{s}_j \hat{\varrho}_j^{(k)}(t'') \sum_{m=0}^{+\infty} C_{(j+k) \bmod K}^{(m)}(t' - t'') + \\ &+ \frac{1}{K} \sum_{l=1}^{+\infty} \frac{1}{\bar{s}} \sum_{j=0}^{K-1} \bar{s}_j \hat{\varrho}_j^{(l)}(t') \sum_{m=0}^{+\infty} C_{(j+l) \bmod K}^{(m)}(t'' - t') = \frac{1}{K} \sum_{j=0}^{K-1} c_j(t' - t'') \frac{1}{\bar{s}} \sum_{k=1}^{+\infty} \bar{s}_{(j-k) \bmod K} \hat{\varrho}_{(j-k) \bmod K}^{(k)}(t'') + \\ &+ \frac{1}{K} \sum_{j=0}^{K-1} c_j(t'' - t') \frac{1}{\bar{s}} \sum_{l=1}^{+\infty} \bar{s}_{(j-l) \bmod K} \hat{\varrho}_{(j-l) \bmod K}^{(l)}(t') = \frac{1}{K} \sum_{j=0}^{K-1} c_j(t' - t'') v_j(t'') + \frac{1}{K} \sum_{j=0}^{K-1} c_j(t'' - t') v_j(t'), \end{aligned}$$

где введено

$$v_j(t) = \frac{1}{\bar{s}} \sum_{k=1}^{+\infty} \bar{s}_{(j-k) \bmod K} \hat{\varrho}_{(j-k) \bmod K}^{(k)}(t).$$

С учетом определения  $\hat{\varrho}_j^{(k)}(t)$ ,  $k \geq 0$  (25), получаем

$$v_j(t) = \frac{1}{\bar{s}} \sum_{k=1}^{+\infty} \bar{s}_{(j-k) \bmod K} \int_{-\infty}^{\infty} dt' \hat{\varrho}_{(j-k) \bmod K}(t') C_{(j-k+1) \bmod K}^{(k-2)}(t - t').$$

Продифференцируем  $v_j(t)$  с учетом  $\bar{s}_j \hat{\varrho}_j^{(1)}(t) = \delta(t) - \hat{\rho}_j(t)$ :

$$\begin{aligned} v'_j(t) &= -\frac{1}{\bar{s}} \sum_{k=1}^{+\infty} \bar{s}_{(j-k) \bmod K} \left[ \hat{\varrho}_{(j-k) \bmod K}(t) C_{(j-k+1) \bmod K}^{(k-2)}(t - t') \Big|_{-\infty}^{+\infty} \right] + \\ &+ \frac{1}{\bar{s}} \sum_{k=1}^{+\infty} \int_{-\infty}^{\infty} dt' [\delta(t') - \hat{\rho}_{(j-k) \bmod K}(t')] C_{(j-k+1) \bmod K}^{(k-2)}(t - t') = \\ &= \frac{1}{\bar{s}} \sum_{k=1}^{+\infty} \left[ C_{(j-k+1) \bmod K}^{(k-2)}(t) - \int_{-\infty}^{\infty} dt' \hat{\rho}_{(j-k) \bmod K}(t') C_{(j-k+1) \bmod K}^{(k-2)}(t - t') \right] = \\ &= \frac{1}{\bar{s}} \sum_{k=1}^{+\infty} \left[ C_{(j-k+1) \bmod K}^{(k-2)}(t) - C_{(j-k) \bmod K}^{(k-1)}(t) \right] = \frac{1}{\bar{s}} \delta(t), \end{aligned}$$

где было использовано рекуррентное тождество (23). Интегрируя  $v'_j(t)$  и учитывая, что  $v_j(t) \equiv 0$  при  $t < 0$ , получим  $v_j(t) = \theta(t)/\bar{s}$ . С учетом этого имеем

$$S_{++}(t', t'') = \frac{1}{\bar{s}} \theta(t'') b(t' - t'') + \frac{1}{\bar{s}} \theta(t') b(t'' - t') = \frac{1}{\bar{s}} \theta(t') \theta(t'') b(|t'' - t'|). \tag{46}$$

**В'.** Сумма  $S_{-+}(t', t'') = \sum_{k=1}^{+\infty} \sum_{l=-\infty}^0 p_{lk}(t', t'')$ :

$$\begin{aligned} S_{-+}(t', t'') &= \sum_{k=1}^{+\infty} \sum_{l=-\infty}^0 p_{lk}(t', t'') = \\ &= \frac{1}{K \bar{s}} \sum_{j=0}^{K-1} \int_0^{\infty} dt_1 \left[ \sum_{k=1}^{+\infty} C_{(j+1) \bmod K}^{(k-2)}(t'' - t_1) \right] \left[ \sum_{l=-\infty}^0 D_{(j) \bmod K}^{(-l)}(t_1 - t') \right] - \end{aligned}$$

$$\begin{aligned}
 & -\frac{1}{K\bar{S}} \sum_{j=0}^{K-1} \int_0^{\infty} dt_0 \left[ \sum_{k=1}^{+\infty} C_{(j)\text{mod}K}^{(k-1)}(t''-t_0) \right] \left[ \sum_{l=-\infty}^0 D_{(j-1)\text{mod}K}^{(-l-1)}(t_0-t') \right] = \\
 & = \frac{1}{K\bar{S}} \sum_{j=0}^{K-1} \int_0^{\infty} dt_1 [\delta(t''-t_1) + c_{(j+1)\text{mod}K}(t''-t_1)] d_{(j)\text{mod}K}(t_1-t') - \\
 & - \frac{1}{K\bar{S}} \sum_{j=0}^{K-1} \int_0^{\infty} dt_0 c_{(j)\text{mod}K}(t''-t_0) [\delta(t_0-t') + d_{(j-1)\text{mod}K}(t_0-t')] = \\
 & = \frac{1}{K\bar{S}} \sum_{j=0}^{K-1} \theta(t'') d_{(j)\text{mod}K}(t''-t') - \frac{1}{K\bar{S}} \sum_{j=0}^{K-1} \theta(t') c_{(j)\text{mod}K}(t''-t') + \\
 & + \frac{1}{K\bar{S}} \int_0^{\infty} dt_1 \sum_{j=0}^{K-1} c_{(j+1)\text{mod}K}(t''-t_1) d_{(j)\text{mod}K}(t_1-t') - \\
 & - \frac{1}{K\bar{S}} \int_0^{\infty} dt_0 \sum_{j=0}^{K-1} c_{(j)\text{mod}K}(t''-t_0) d_{(j-1)\text{mod}K}(t_0-t') = \\
 & = \frac{1}{\bar{S}} [\theta(t'') b(t''-t') - \theta(t') b(t''-t')] = \frac{1}{\bar{S}} \theta(t'') \theta(-t') b(t''-t'), \tag{47}
 \end{aligned}$$

где использовано тождество (18).

**В".** Сумма  $S_{+-}(t', t'') = \sum_{k=-\infty}^0 \sum_{l=1}^{+\infty} p_{lk}(t', t'')$ :

$$\begin{aligned}
 S_{+-}(t', t'') & = \sum_{k=-\infty}^0 \sum_{l=1}^{+\infty} p_{lk}(t', t'') = \sum_{l=-\infty}^0 \sum_{k=1}^{+\infty} p_{kl}(t', t'') = \\
 & = \sum_{l=-\infty}^0 \sum_{k=1}^{+\infty} p_{lk}(t'', t') = \sum_{k=1}^{+\infty} \sum_{l=-\infty}^0 p_{lk}(t'', t') = \tag{48} \\
 & = S_{-+}(t'', t') = \frac{1}{\bar{S}} \theta(t'') \theta(-t'') b(t' - t'').
 \end{aligned}$$

Суммируя выражения (44)–(47), получим следующий окончательный результат:

$$\sum_{k=-\infty}^{+\infty} \sum_{l=-\infty}^{+\infty} p_{lk}(t', t'') = \frac{1}{\bar{S}} b(|t'' - t'|). \tag{49}$$

Теперь, с учетом найденного выражения (49) для двойной суммы и (35) для интенсивности  $\lambda(t')$  может быть окончательно выписан явный вид второго момента  $\overline{x(t')x(t'')}$  (9):

$$\overline{x(t')x(t'')} = \frac{1}{\bar{S}} \left[ \overline{A^2 \delta(t'' - t')} + \overline{A^2 b(|t'' - t'|)} \right], \tag{50}$$

регулярная часть которого полностью задается функцией  $b(t)$  (44), однозначно определяемой через свертки  $C_j^{(k)}(t)$  (22) подряд следующих плотностей распределения вероятностей  $\hat{p}_{(j)\text{mod}K}(s), \dots, \hat{p}_{(j+k)\text{mod}K}(s)$ .

Отметим, что  $x(t')x(t'')$  (50) зависит от разности аргументов  $t = t'' - t'$ , что также является признаком стационарности процесса.

Если ввести характеристические функции  $\{\chi_k(f)\}$  для задающих циклический процесс плотностей распределения вероятностей  $\{\hat{p}_k(s)\}$ ,  $k = 0, 1, \dots, K - 1$ :

$$\chi_k(f) = \int_0^{+\infty} \hat{p}_k(s) \exp(-2\pi jfs) ds = 1 - 2\pi j f \bar{S}_k + \dots, \tag{51}$$

то в соответствии с определением (22) характеристическими функциями свертков  $C_j^{(k)}(t)$  будут:

$$\begin{aligned}
 \Psi_l^{(k)}(f) & = \int_0^{+\infty} C_l^{(k)}(t) \exp(-2\pi jft) dt = \\
 & = \prod_{i=0}^k \chi_{(l+i)\text{mod}K}(f). \tag{52}
 \end{aligned}$$

Отметим, что все  $\{\chi_k(f)\}$  и  $\{\Psi_l^{(k)}(f)\}$ , будучи характеристическими функциями распределений, которые обращаются в нуль на отрицательной оси, являются аналитическими функциями в нижней комплексной полуплоскости  $\text{Im}(f) < 0$ , где также имеют место ограничения  $|\chi_k(f)| < 1$  и  $|\Psi_l^{(k)}(f)| < 1$ .

С помощью (52) может быть найдено преобразованием Фурье  $b(t)$  (44):

$$\begin{aligned}
 \Psi(f) & = \int_0^{+\infty} b(t) \exp(-2\pi jft) dt = \frac{1}{K} \sum_{l=0}^{K-1} \sum_{k=0}^{\infty} \Psi_l^{(k)}(f) = \\
 & = \frac{1}{K} \sum_{l=0}^{K-1} \sum_{k=0}^{\infty} \prod_{i=0}^k \chi_{(l+i)\text{mod}K}(f). \tag{53}
 \end{aligned}$$

Если в суммах рядов (53) сгруппировать члены с кратными периоду  $K$  номерами  $k = m + nK$ ,  $m = 0, \dots, (K - 1)$ ,  $n = 0, \dots$ , то в силу их циклического характера можно по крайней мере в нижней комплексной полуплоскости  $\text{Im}(f) < 0$  привести эти ряды к конечным суммам вида:

$$\sum_{k=0}^{\infty} \prod_{i=0}^k \chi_{(l+i) \bmod K}(f) = \sum_{m=0}^{K-1} \prod_{i=0}^m \chi_{(l+i) \bmod K}(f) \times \\ \times \sum_{n=0}^{\infty} \left[ \prod_{i=0}^{K-1} \chi_i(f) \right]^n = \frac{\sum_{m=0}^{K-1} \prod_{i=0}^m \chi_{(l+i) \bmod K}(f)}{1 - \prod_{i=0}^{K-1} \chi_i(f)}.$$

Подставляя эти выражения в (53), найдем  $\Psi(f)$  в удобном для анализа виде:

$$\Psi(f) = \frac{\sum_{m=0}^{K-1} \frac{1}{K} \sum_{l=0}^{K-1} \prod_{i=0}^m \chi_{(l+i) \bmod K}(f)}{1 - \prod_{i=0}^{K-1} \chi_i(f)}. \quad (54)$$

Представление (54) полезно тем, что из него следует явное уравнение для полюсов  $\Psi(f)$ , которые, как известно, определяют многие черты поведения исходной функции  $b(t)$  (44). Из (54) следует, что уравнение для полюсов есть

$$\prod_{i=0}^{K-1} \chi_i(f) = 1. \quad (55)$$

В частности, ввиду равенства характеристических функций в нуле единице, нуль всегда является корнем (55). Соответствующий этому корню вычет  $\Psi(f)$  легко находится (см. (51)) и равен  $1/2\pi\bar{s}$ . Отсюда, например, вытекает асимптотическое поведение  $b(t) \rightarrow 1/\bar{s}$  при  $t \rightarrow \infty$ .

С помощью  $\Psi(f)$  (54) может быть найден спектр второго момента  $\overline{x(t')x(t'')}$ :

$$S(f) = \int_{-\infty}^{+\infty} \overline{x(0)x(t)} \exp(-2\pi jft) dt = \\ = \frac{\bar{A}^2}{\bar{s}} + \frac{\bar{A}^2}{\bar{s}} \int_{-\infty}^{+\infty} b(|t|) \exp(-2\pi jft) dt = \\ = \frac{\bar{A}^2}{\bar{s}} + \frac{\bar{A}^2}{\bar{s}} \{\Psi(-f - j0) + \Psi(f - j0)\}. \quad (56)$$

Из (56), в частности, следует, что  $S(f)$  имеет в нуле особенность  $\bar{A}^2 \delta(f) / \bar{s}^2$ , которая ведет к асимптотике  $\overline{x(0)x(t)} \rightarrow \bar{A}^2 / \bar{s}^2 = \bar{x}^2$  при  $t \rightarrow \pm\infty$ . В невырожденных случаях  $\Psi(f)$ , за исключением

$f=0$ , не имеет особенностей на действительной оси (уравнение (55) имеет единственный действительный корень — нуль). Поэтому  $\Psi(f) - 1/2\pi jfs$  является регулярной функцией действительных частот и спектр  $S(f)$  (56) можно представить в виде суммы сингулярной и регулярной частей:

$$S(f) = \frac{\bar{A}^2}{\bar{s}} + \frac{\bar{A}^2}{\bar{s}^2} \left\{ \delta(f) + 2\text{Re} \left[ \bar{s} \Psi(f) - \frac{1}{2\pi jf} \right] \right\}. \quad (57)$$

Отметим здесь формальную аналогию (57) со спектром рекуррентного импульсного процесса, обсуждаемого в [13] (см. там же ссылки).

#### 4. СОДЕРЖАТЕЛЬНАЯ КОНКРЕТИЗАЦИЯ МОДЕЛИ ЦИКЛИЧЕСКИХ ТОЧЕЧНЫХ ПРОЦЕССОВ

Уравнения (50) и (57) задают наиболее общий вид представлений второго момента  $x(t')x(t'')$  (9) точечного циклического процесса во временной и в частотной областях. При этом задающие процесс плотности распределения вероятностей  $\hat{\rho}_0(s), \hat{\rho}_1(s), \dots, \hat{\rho}_{K-1}(s)$ ,  $s \geq 0$ , могут иметь произвольный вид — любую форму, статистические моменты, включая моду, масштаб и т.д. Однако для конкретизации анализа в отношении определенного класса задач, необходимо, как это отмечалось в разд. 1, ввести некоторые элементы детализации модели, ограничив ее на определенные частные случаи. Одним из распространенных в приложениях частных случаев является ситуация, в которой плотности  $\{\hat{\rho}_k(s)\}$  имеют одинаковую форму, но различаются расположением на полуоси  $s \geq 0$ . Формально, в данном случае центрированные статистические моменты всех  $\hat{\rho}_k(s)$  предполагаются равными, за исключением математических ожиданий  $\bar{s}_k$ . Рассмотрим эту частную модель более подробно.

Будем считать, что все  $K$  плотностей распределения вероятностей циклического процесса имеют одинаковую форму  $\hat{\rho}_0(s)$ , но сдвинуты относительно нее на  $\Delta s_k$ :  $\hat{\rho}_k(s) = \hat{\rho}_0(s - \Delta s_k)$ ,  $k = 1, \dots, K - 1$ . При этом будем считать, что сдвиги заданы явным образом в виде синусоидальной последовательности  $\Delta s_k = \theta \sin(2\pi k/K)$ . Математические ожидания введенных плотностей  $\{\hat{\rho}_k(s)\}$  очевидно равны  $\bar{s}_k = \bar{s}_0 + \theta \sin(2\pi k/K)$ , где  $\bar{s}_0$  — математическое ожидание  $\hat{\rho}_0(s)$ . Среднее значение и размах  $\{\bar{s}_k\}$  составляют соответственно  $\bar{s}_0$  и  $2\theta$ . Другими словами, параметр  $\bar{s}_0$  совпадает с введенным ранее средним  $\bar{s}$  интервалов между точками процесса, а величина  $Q = 2\theta/\bar{s}_0$  может рассматриваться как параметр их вариабельности. Очевидно, что у введенного таким образом

набора плотностей все (центрированные) статистические моменты совпадают. В частности, у них совпадают стандартные отклонения  $\beta$ , удвоенную величину которых примем в качестве эффективной ширины каждой из  $\{\hat{\rho}_k(s)\}$ . Для обеспечения условия  $\hat{\rho}_k(s) \equiv 0$  при  $s < 0$  требуется, очевидно, условие  $\beta + \theta \ll \bar{s}_0$ , которое в дальнейшем будет предполагаться выполненным.

Попутно отметим, что ввиду  $K$ -периодичности синуса имеет место  $\Delta s_{(k) \bmod K} = \Delta s_k$ , поэтому далее в обозначениях вида  $\hat{\rho}_{(j+k) \bmod K}(t)$ ,  $\chi_{(l+i) \bmod K}(f)$  и т.д. операцию  $(...) \bmod K$  приведения индекса по модулю  $K$  можно в явном виде не выписывать.

С учетом введенных обозначений характеристические функции (51) плотностей распределения вероятностей  $\hat{\rho}_k(s)$  в рассматриваемом случае представляются в виде

$$\begin{aligned} \chi_k(f) &= \chi_0(f) \exp\{-2\pi j f \theta \sin(2\pi k/K)\}, \\ \chi_0(f) &= \int_0^{+\infty} \hat{\rho}_0(s) \exp(-2\pi j f s) ds. \end{aligned} \quad (58)$$

Как следует из (54), в выражение для спектра  $\Psi(f)$  характеристические функции (58) входят только как элементы следующих структурных блоков:

$$\begin{aligned} \Psi^{(m)}(f) &= \frac{1}{K} \sum_{l=0}^{K-1} \prod_{i=0}^m \chi_{l+i}(f) = \\ &= \chi_0^{m+1}(f) \frac{1}{K} \sum_{l=0}^{K-1} \exp\left\{-2\pi j f \theta \sum_{i=0}^m \sin\left(2\pi \frac{l+i}{K}\right)\right\} = \\ &= \chi_0^{m+1}(f) \frac{1}{K} \sum_{l=0}^{K-1} \exp\left(-2\pi j U_{m,K} f \theta \sin\left(2\pi \frac{l+m/2}{K}\right)\right), \end{aligned} \quad (59)$$

где использовано обозначение  $U_{m,K}$  для коэффициентов  $\sin\left(\frac{\pi(m+1)}{K}\right) / \sin\left(\frac{\pi}{K}\right)$ , являющихся значениями полиномов Чебышева второго рода  $U_m(x)$  в точке  $x = \cos(\pi/K)$ .

В частности, из полученного выражения ввиду  $U_{m,K-1} = 0$ , следует:

$$\Psi^{(K-1)}(f) = \prod_{i=0}^{K-1} \chi_i(f) = \chi_0^K(f),$$

что представляет собой входящее в знаменатель  $\Psi(f)$  (54) блок-произведение характеристических функций.

Вводя временно обозначение  $z_m = 2\pi U_{m,K} f \theta$  и воспользовавшись разложением  $\exp(-jz_m \sin(\varphi))$

в ряд Фурье по  $\varphi$  (формула Якоби–Ангера, см. Приложение (ПЗ)), найдем

$$\begin{aligned} \Psi^{(m)}(f) &= \chi_0^{m+1}(f) \frac{1}{K} \times \\ &\times \sum_{l=0}^{K-1} \exp\left(-jz_m \sin\left(2\pi \frac{l+m/2}{K}\right)\right) = \\ &= \chi_0^{m+1}(f) \sum_{p=-\infty}^{+\infty} (-1)^{pm} \mathcal{J}_{pK}(z_m), \end{aligned}$$

где  $\mathcal{J}_n(z)$  – функции Бесселя первого рода (см. Приложение (П1)).

Вводя спектральные окна  $W_m^{(K)}(f)$ :

$$\begin{aligned} W_m^{(K)}(f) &= \sum_{p=-\infty}^{+\infty} (-1)^{pm} \mathcal{J}_{pK}(z_m) = \\ &= \sum_{p=-\infty}^{+\infty} (-1)^{pm} \mathcal{J}_{pK}(2\pi U_{m,K} f \theta), \end{aligned} \quad (60)$$

можно записать структурные блоки  $\Psi^{(m)}(f)$  (59) в более компактном виде:

$$\Psi^{(m)}(f) = \chi_0^{m+1}(f) W_m^{(K)}(f). \quad (61)$$

Ввиду того, что при любых  $n \neq 0$  значениями  $\mathcal{J}_n(z)$  в нуле является нуль и только  $\mathcal{J}_0(0) = 1$ , общим свойством спектральных окон (60) при любых  $K$  и  $m$  является  $W_m^{(K)}(0) = 1$ . Частным свойством окон (60), выполняющимся при нечетных  $K$  и являющимся следствием известного свойства функций Бесселя  $\mathcal{J}_{-n}(z) = (-1)^n \mathcal{J}_n(z)$ , является то, что члены ряда в  $W_m^{(K)}(f)$  (60) с нечетными номерами  $\pm p$  взаимно сокращаются, а с четными – удваиваются, что позволяет в случае нечетного  $K$  несколько упростить выражение для  $W_m^{(K)}(f)$  (60):

$$\begin{aligned} W_m^{(K)}(f) &= \mathcal{J}_0(2\pi U_{m,K} f \theta) + \\ &+ 2 \sum_{q=1}^{+\infty} \mathcal{J}_{2qK}(2\pi U_{m,K} f \theta). \end{aligned} \quad (62)$$

Отметим, что в этом случае все окна  $W_m^{(K)}(f)$  выражаются через  $W_0^{(K)}(f)$  с помощью масштабного преобразования частоты:

$$W_m^{(K)}(f) = W_0^{(K)}(U_{m,K} f).$$

Масштаб  $U_{m,K}$  изменяется от 1 до  $\sim K/\pi$  при изменении  $m$  от 0 до  $(K-1)/2$  и обратно от  $\sim K/\pi$  до 1 при изменении  $m$  от  $(K-1)/2$  до  $K-2$ . При  $m = K-1$  масштабный множитель  $U_{K-1,K} = 0$  и  $W_{K-1}^{(K)}(f) = W_0^{(K)}(0) \equiv 1$ .

Во избежание громоздких выражений ниже будет рассматриваться только случай нечетных  $K$ , в котором все  $W_m^{(K)}(f)$  являются масштабированными версиями  $W_0^{(K)}(f)$ .

В наиболее интересном случае  $K \gg 1$ , ряд из функций Бесселя (62) можно приблизить его конечным отрезком исходя из нижеприведенных оценок. На основе оценки  $|\mathcal{J}_n(z)| \leq |z/2|^n/n!$  (см. Приложение (П10)) можно, воспользовавшись формулой Стирлинга, выписать следующую верхнюю границу  $\mathcal{J}_{2qK}(z)$ ,  $q \geq 1$  для интервала  $|z| < M$ :

$$|\mathcal{J}_{2qK}(z)| \leq \frac{1}{(2qK)!} |z/2|^{2qK} < \frac{1}{\sqrt{4\pi qK}} \left| \frac{ez}{4qK} \right|^{2qK} < \frac{1}{2\sqrt{\pi qK}} \left| \frac{M}{qK} \right|^{2qK}.$$

Если положить  $M \sim K\hat{q}$ , то приведенная оценка принимает вид

$$|\mathcal{J}_{2qK}(z)| < \frac{\exp(2qK \ln(\hat{q}/q))}{2\sqrt{\pi qK}} < \frac{\exp(-2K(q - \hat{q}))}{2\sqrt{\pi qK}},$$

откуда следует, что при больших  $K$  слагаемыми с  $q \geq \hat{q}$  в (62) на интервале  $|z| < K\hat{q}$  можно пренебречь и вместо бесконечных рядов использовать для  $W_m^{(K)}(f)$  их конечные отрезки. Как отмечалось выше, в связи с вопросами о масштабном подобии, при больших  $K$  максимальный (при  $m = (K - 1)/2$ ) диапазон изменений  $z = 2\pi U_{m,K} f \theta$  в  $\sim K/\pi$  раз больше существенного диапазона  $2\pi f \theta$  или в  $\sim 2K\theta$  раз больше существенного диапазона изменений частоты  $f$ . Последний определяется полушириной  $\chi_0(f)$  и в соответствии с (51) равен обратной полуширине  $\hat{\rho}_0(s)$ , т.е.  $\beta^{-1}$ . Другими словами, необходимо  $M \sim 2K\theta/\beta$  и, соответственно,  $\hat{q} \sim 2\theta/\beta$ . Обрывая соответствующий ряд на членах с  $q = \hat{q} - 1$ , получим следующую аппроксимацию для  $W_0^{(K)}(f)$  (62) на интервале  $|f| \leq \beta^{-1}$ :

$$\begin{aligned} \hat{W}_m^{(K)}(f) &= \hat{W}_0^{(K)}(U_{m,K}f) = \\ &= \mathcal{J}_0(2\pi U_{m,K}f\theta) + 2 \sum_{q=1}^{\hat{q}-1} \mathcal{J}_{2qK}(2\pi U_{m,K}f\theta). \end{aligned} \quad (63)$$

Подставляя полученные структурные блоки  $\Psi^{(m)}(f)$  (61) в спектр  $\Psi(f)$  (54), получим следующую

ее приближение, содержащее конечное число слагаемых в числителе/знаменателе:

$$\Psi(f) = \frac{\sum_{m=0}^{K-1} \chi_0^{m+1}(f) \hat{W}_0^{(K)}(U_{m,K}f)}{1 - \chi_0^K(f)}. \quad (64)$$

Отметим, что при любом  $K$ , при  $\theta \rightarrow 0$  рассматриваемый циклический точечный процесс вырождается в рекуррентный, а спектр (64) – в выражение:

$$\Psi(f) = \frac{\chi_0(f)}{1 - \chi_0(f)}, \quad (65)$$

которое совпадает с приведенным в [16] спектром стационарных рекуррентных процессов.

Несколько примеров  $\Psi(f)$  (64) для  $K = 7$  и плотности  $\hat{\rho}_0(s)$  гауссовской формы с  $\bar{s}_0 = 1$ ,  $\beta = 0.02$  при нескольких значениях параметра вариабельности  $Q = 2\theta/\bar{s}_0$  представлены на рис. 1 (вырожденный случай  $Q = 0$  соответствует рекуррентному процессу с теми же  $K, \bar{s}_0, \beta$ ).

Поскольку, как отмечалось ранее, для действительных  $f \neq 0$  имеет место  $|\chi_0(f)| < 1$ , можно разложить знаменатель (64) в ряд по  $\chi_0^K(f)$  и получить разложение спектра  $\Psi(f)$  по степеням  $\chi_0(f)$ :

$$\Psi(f) = \sum_{m=0}^{+\infty} \hat{W}_0^{(K)}(|U_{m,K}|f) \chi_0^{m+1}(f), \quad (66)$$

где использована формальная периодичность  $|U_{m,K}| = U_{(m) \bmod K, K}$  по  $m$ .

Взяв от (66) обратное преобразование Фурье, получим согласно определению  $\Psi(f)$  (53) функцию  $b(t)$ , являющуюся не сингулярной частью второго момента  $\overline{x(t')x(t'')}$  (50) точечного циклического процесса:

$$\begin{aligned} b(t) &= \int_{-\infty}^{+\infty} \Psi(f) \exp(2\pi jft) df = \\ &= \sum_{m=0}^{+\infty} \frac{1}{|U_{m,K}|} \Pi_{\theta}^{(K)}(t|U_{m,K}) * R_0^{(m)}(t), \end{aligned} \quad (67)$$

где  $R_0^{(m)}(t)$ , так же как и  $C_j^{(k)}(t)$  (22), –  $m$ -кратная свертка, но только плотности  $\hat{\rho}_0(s)$  с собой. По существу,  $R_0^{(m)}(t)$  представляет собой плотность распределения суммы  $(m + 1)$  независимых, одинаково распределенных с  $\hat{\rho}_0(s)$  случайных интервалов. В соответствии с этим  $R_0^{(m)}(t)$  в (67) имеют форму положительных пиков ширины  $\sim 2\sqrt{m+1}\beta$ , расположенных в точках  $t_{m+1} = (m + 1)\bar{s}_0$ . При увеличении номера  $m$  форма пиков стремится к форме гауссовых распределений.



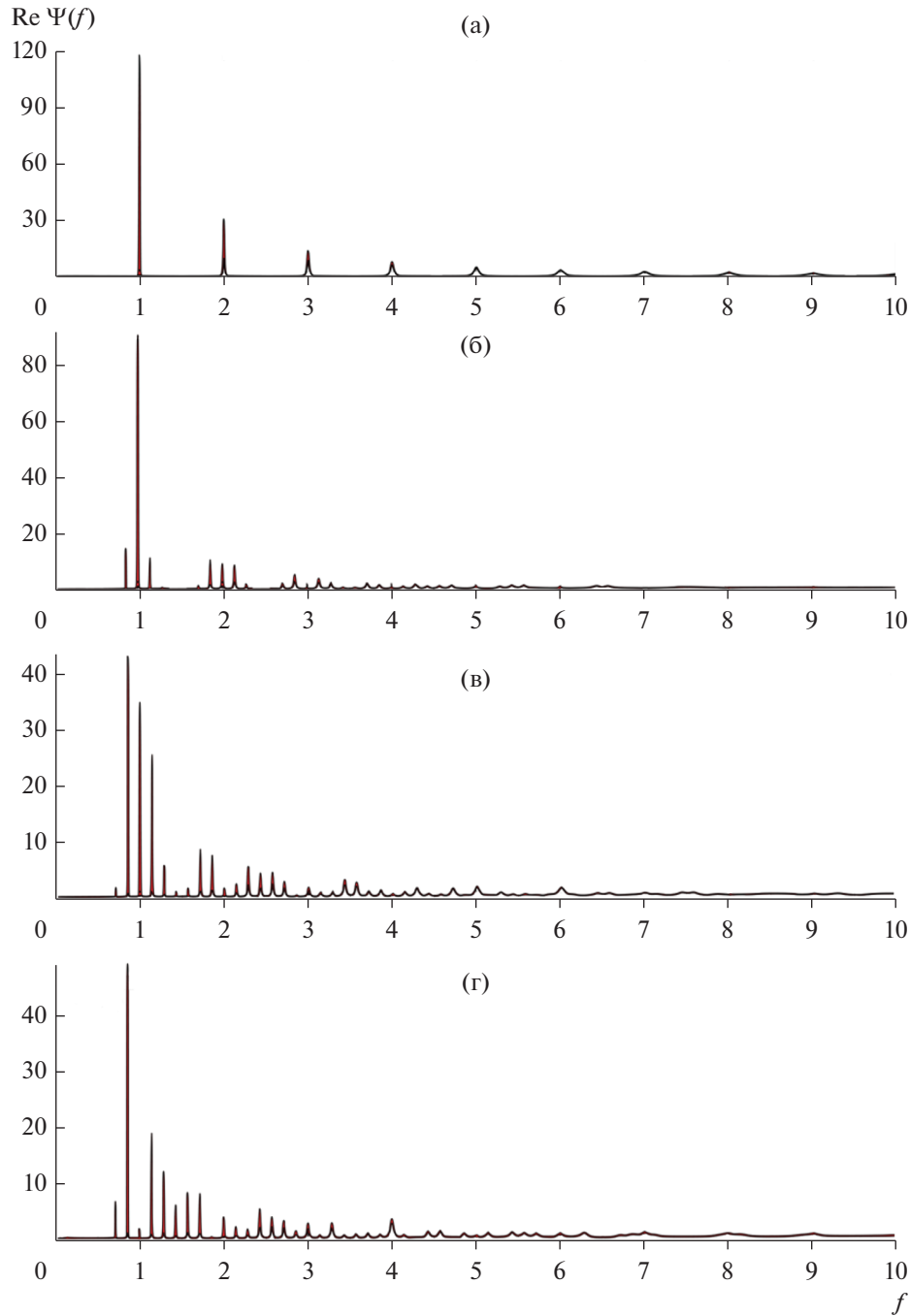


Рис. 1. Примеры спектров  $\Psi(f)$  (64) для  $K = 7$ ,  $\bar{s}_0 = 1$ ,  $\beta = 0.02$  и различных значений параметра variability  $Q = 2\theta/\bar{s}_0$ :  $Q = 0$  (а), 0.2 (б), 0.4 (в) и 0.6 (г).

В выражении (67) звездочка \* обозначает операцию свертки  $R_0^{(m)}(t)$  с масштабированным на  $|U_{m,k}|$  ядром  $\Pi_\theta^{(K)}(\xi)$ , представляющим собой обратное преобразование Фурье от спектрального окна  $\hat{W}_0^{(K)}(f)$ :

$$\begin{aligned} \Pi_\theta^{(K)}(\xi) &= \int_{-\infty}^{+\infty} \hat{W}_0^{(K)}(f) \exp(2\pi j f \xi) df = \frac{1}{2\pi\theta} \left\{ \int_{-\infty}^{+\infty} \mathcal{F}_0(\zeta) \exp(j\zeta\xi/\theta) d\zeta + \right. \\ &+ \left. 2 \sum_{q=1}^{\hat{q}-1} \int_{-\infty}^{+\infty} \mathcal{F}_{2qK}(\zeta) \exp(j\zeta\xi/\theta) d\zeta \right\} = \frac{1}{\pi} \frac{1}{\sqrt{\theta^2 - \xi^2}} \left\{ 1 + 2 \sum_{q=1}^{\hat{q}-1} (-1)^q T_{2qK} \left( \frac{\xi}{\theta} \right) \right\}, \quad |\xi| < \theta, \end{aligned} \tag{68}$$

где  $T_{2qK}(\xi)$  – многочлены Чебышева первого рода (см. Приложение (П7)).

Замечательным результатом является то, что ядро  $\Pi_{\theta}^{(K)}(\xi)$  (68) есть финитная функция: его значения при  $|\xi| \leq \theta$  задаются выражением (68), а вне этого отрезка ядро тождественно обращается в нуль. Несколько примеров ядер  $\Pi_{\theta}^{(K)}(\xi)$  и их преобразований Фурье  $\hat{Y}_0^{(K)}(f)$  для  $K = 7$  и  $\theta = 0.1$  при разных значениях параметра  $\hat{q} = 2\theta/\beta$  приведены на рис. 2.

Согласно приведенному выше анализу, слагаемые ряда  $b(t)$  (67) представляют собой свертки  $R_0^{(m)}(t)$  с финитными функциями  $|U_{m,K}|^{-1} \times \Pi_{\theta}^{(K)}(t/|U_{m,K}|)$ , носители которых составляют отрезки  $(-\theta|U_{m,K}|; \theta|U_{m,K}|)$ . Результирующий ряд (67) по структуре отчасти напоминает ряд вырожденного (при  $\theta \rightarrow 0$ ) рекуррентного процесса с плотностью распределения интервалов  $\hat{\rho}_0(s)$ , для которого согласно (65)  $\tilde{b}(t)$  имеет вид

$$\tilde{b}(t) = \sum_{m=0}^{+\infty} R_0^{(m)}(t). \quad (69)$$

Ряд  $\tilde{b}(t)$  (69) представлен эквидистантно расположенными в точках  $t_{m+1} = (m+1)\bar{s}_0$  пиками с монотонно возрастающей шириной  $\sim 2\sqrt{m+1}\beta$ , как это было отмечено выше. Ввиду условия  $\beta/\bar{s}_0 \ll 1$  пики с небольшими номерами  $m$  будут изолированными. Они начнут заметно перекрываться начиная с номеров  $m \sim \hat{m} = (\bar{s}_0/2\beta)^2 \gg 1$ , постепенно формируя постоянный асимптотический уровень  $\sim 1/\bar{s}_0$  на бесконечности.

Ряд общего циклического процесса  $b(t)$  (67) также содержит пики вида  $R_0^{(m)}(t)$ , но только при  $m = pK - 1$ , в точках  $t_{m+1} = pK\bar{s}_0$ ,  $p = 1, 2, \dots$ , ввиду  $U_{m,K} \rightarrow 0$  и, соответственно,  $|U_{m,K}|^{-1} \times \Pi_{\theta}^{(K)}(t/|U_{m,K}|) \rightarrow \delta(t)$ . Однако в отличие от (69) в промежутках между этими пиками ( $m \neq pK - 1$ ) соответствующие пики  $R_0^{(m)}(t)$  из  $b(t)$  (67) будут уширены на величину  $\sim 2\theta|U_{m,K}|$  и деформированы за счет сглаживания с ядром  $|U_{m,K}|^{-1} \Pi_{\theta}^{(K)}(t/|U_{m,K}|)$  (см. рис. 2), что при варибельности интервалов  $2\theta/\bar{s}_0 > \pi K^{-1}$  приведет к их перекрытию еще до первого неискаженного пика  $R_0^{(K-1)}(t)$  (в основном в середине интервала  $(0; K\bar{s}_0)$ ). Кроме того, деформация приводит к разбиению каждого из

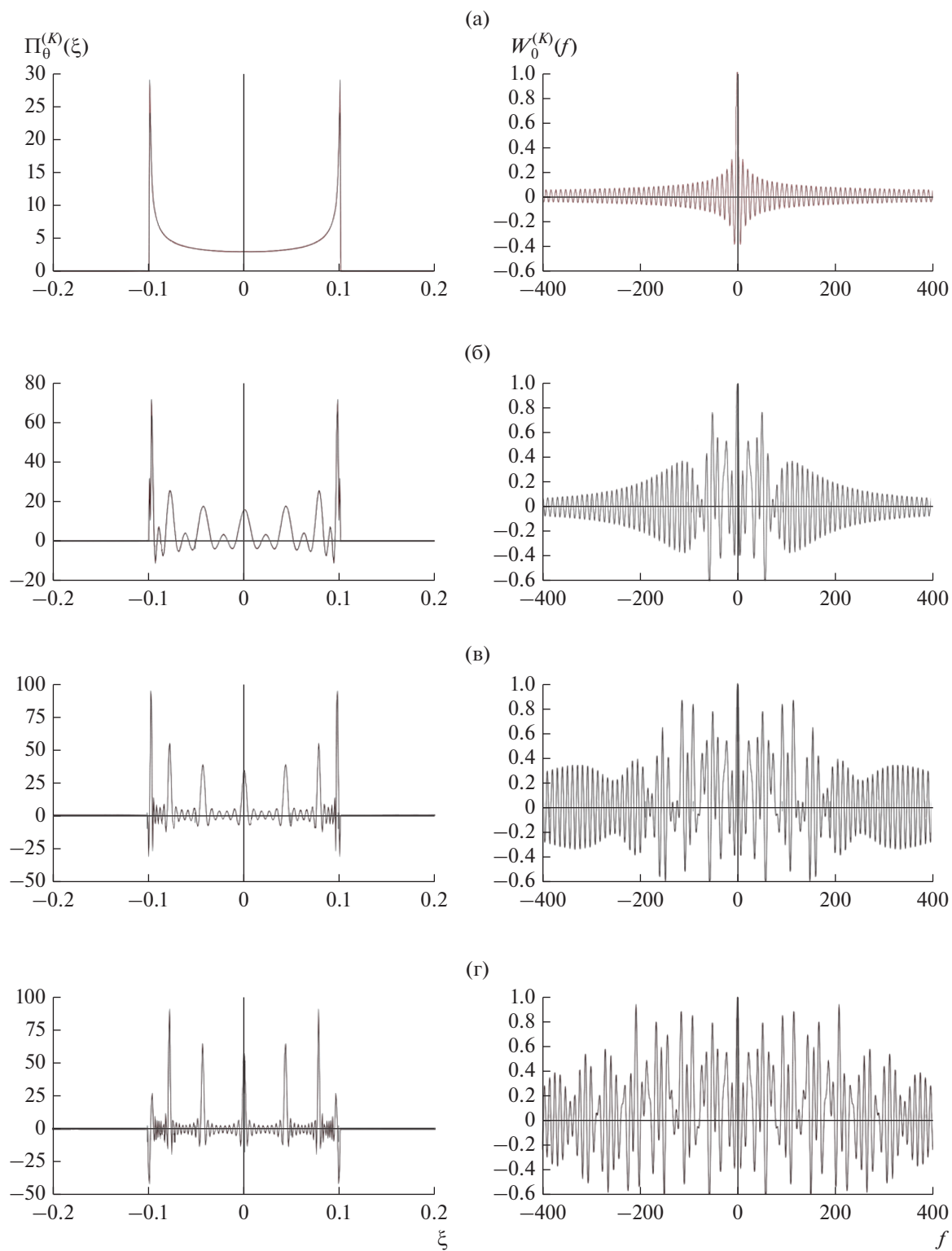
$R_0^{(m)}(t)$  пиков на несколько (вплоть до  $K$ ) локальных пиков, что при их перекрытии ведет к усложнению картины  $b(t)$  в промежутках между точками  $t_{m+1} = pK\bar{s}_0$ . Ряд примеров  $b(t)$  (67) для  $K = 7$  и плотности  $\hat{\rho}_0(s)$  гауссовской формы с  $\bar{s}_0 = 1$ ,  $\beta = 0.02$  при нескольких значениях параметра варибельности  $Q = 2\theta/\bar{s}_0$  представлены на рис. 3 (вырожденный случай  $Q = 0$  соответствует рекуррентному процессу с теми же  $K, \bar{s}_0, \beta$ ).

## 5. АНАЛИЗ ВРЕМЕННЫХ МАСШТАБОВ ИМПУЛЬСНЫХ ПРОЦЕССОВ НА ОСНОВЕ СТРУКТУРНЫХ ХАРАКТЕРИСТИК ЦИКЛИЧЕСКИХ ТОЧЕЧНЫХ ПРОЦЕССОВ

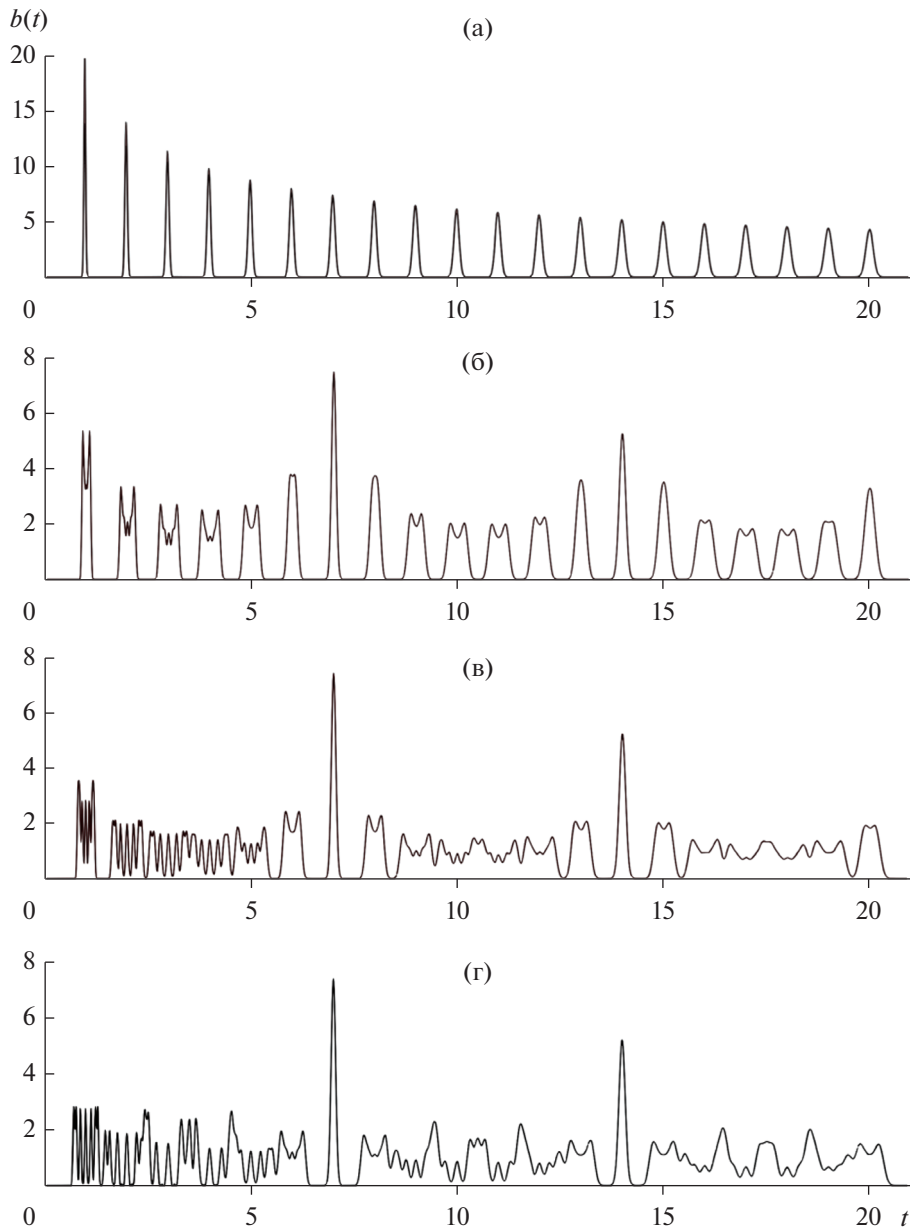
Возвращаясь к исходной модели фрагмента импульсного сигнала  $z(t')$  (1) и его статистическим моментам  $m_t(t')$  и  $R_t(t', t'')$  (5), подставим в них найденные выше выражения для  $\overline{x(t')}$  (35) и  $\overline{x(t')x(t'')}$  (50):

$$\begin{aligned} m_t(t') &= \overline{z(t')} = \frac{\bar{A}}{\bar{s}} h(t' - t) \int g(t') dt' = \frac{\bar{A}\gamma(0)}{\bar{s}} h(t' - t), \\ R_t(t', t'') &= \overline{z(t')z(t'')} = \\ &= \frac{1}{\bar{s}} H(t' - t, t'' - t) \times \\ &\times \left\{ \bar{A}^2 \int G(t' - t''', t'' - t''') dt''' + \right. \\ &\left. + \bar{A}^2 \iint G(t' - t''', t'' - t''') b(|t'''' - t''''|) dt'''' dt'''' \right\}. \end{aligned} \quad (70)$$

В (70) для интеграла от формы импульса  $g(t')$  в  $m_t(t')$  использовано значение частотной характеристики  $\gamma(f)$  (3) в нуле. Заметим, что перед формированием по измеренному сигналу некоторых оценок или представлений, подобных (70), он обычно подвергается предобработке. Последняя, как правило, включает в себя некоторую предварительную фильтрацию, обеспечивающую подавление медленных составляющих сигнала, в частности устранение постоянного уровня. Несложно показать, что в модели (1) результаты подобной фильтрации скажутся также на изменении формы импульсов – новая форма  $g(t')$  будет представлять из себя свертку старой формы с импульсной реакцией предварительного фильтра. В частотной области эта операция соответствует перемножению спектров, поэтому ввиду режекции низких частот предварительным фильтром будем иметь  $\gamma(0) = 0$ . В силу этого обстоятельства согласно (70) будем иметь  $m_t(t') = \overline{z(t')} \equiv 0$ , т.е. главным источником информации о сигнале  $z(t')$  (1) в описанной ситуации становится  $R_t(t', t'')$ .



**Рис. 2.** Примеры ядер  $\Pi_{\theta}^{(K)}(\xi)$  (68) (слева) и их спектров (справа) для  $K = 7$ ,  $\theta = 0.1$  и различных степеней аппроксимации, задаваемых параметром  $\hat{q} = 2\theta/\beta$ :  $\hat{q} = 1$  (а), 3 (б), 6 (в) и 10 (г).



**Рис. 3.** Примеры функций  $b(t)$  (67) для  $K = 7$ ,  $\bar{s}_0 = 1$ ,  $\beta = 0.02$  и различных значений параметра variability  $Q = 2\theta/\bar{s}_0$ :  $Q = 0$  (а), 0.2 (б), 0.4 (в) и 0.6 (г).

Для того чтобы наглядно связать структуру  $R_t(t', t'')$  с выявленной структурой вторых моментов подлежащих точечных циклических процессов  $x(t')$ , перейдем от переменных  $t', t''$  к линейно связанным с ними  $T, \tau$ :

$$\begin{cases} T = \frac{t' + t''}{2} \\ \tau = t' - t'' \end{cases} \leftrightarrow \begin{cases} t' = T + \frac{\tau}{2} \\ t'' = T - \frac{\tau}{2} \end{cases} \quad (71)$$

Роль весового окна  $H(t', t'') = h(t')h(t'')$  в новых переменных легче оценить, если хотя бы приближенно разделить в нем переменные  $T, \tau$ :  $H(t', t'') \approx U(T)u(\tau)$ . Это можно сделать точно, например, в случае, когда окно  $h(t')$  имеет гауссову форму:

$$\begin{aligned} h(t') &= \exp\{-t^2/2\Sigma^2\} \leftrightarrow H\left(T + \frac{\tau}{2}, T - \frac{\tau}{2}\right) = \\ &= \exp\{-T^2/\Sigma^2\} \exp\{-\tau^2/4\Sigma^2\}. \end{aligned}$$

В новых переменных представление сигнала его вторым моментом  $R_r(t', t'')$  (70) записывается в виде

$$\begin{aligned} \hat{R}_r(T, \tau) &= R_r\left(T + \frac{\tau}{2}, T - \frac{\tau}{2}\right) = \\ &= \frac{1}{s} U(T - t) u(\tau) \times \\ &\times \left\{ \overline{A^2} \Gamma(\tau) + \overline{A^2} \int \Gamma(\tau - \tau') b(|\tau'|) d\tau' \right\}, \end{aligned} \quad (72)$$

где введена “автоковариация” формы импульса сигнала  $\Gamma(\tau)$  – квадратичная по  $g(t')$  функция:

$$\begin{aligned} \Gamma(\tau) &= \int G(\tau + t', t') dt' = \\ &= \int g(\tau + t') g(t') dt' = \\ &= \int_{-\infty}^{+\infty} |\gamma(f)|^2 \exp(2\pi j f \tau) df. \end{aligned} \quad (73)$$

Как отмечалось выше, частотная характеристика  $\gamma(f)$  имеет ширину  $\Omega \sim 1/\sigma$ . То же относится и к квадрату ее огибающей  $|\gamma(f)|^2$ . Соответственно, эффективная ширина  $\Gamma(\tau)$  (73) совпадает по порядку величины с длительностью импульса  $\sim 2\sigma$  – с наименьшим временным масштабом сигнала  $z(t')$  (1). Наоборот, функции  $U(T)$  и  $u(\tau)$ , факторизующие  $H(t', t'')$ , имеют эффективную ширину  $\sim 2\Sigma$ , соответствующую наибольшему временному масштабу. Учитывая эти соотношения и тот факт, что  $u(0) = 1$ , запишем окончательное выражение для  $\hat{R}_r(T, \tau)$  (72):

$$\begin{aligned} \hat{R}_r(T, \tau) &= \frac{1}{s} U(T - t) \times \\ &\times \left\{ \overline{A^2} \Gamma(\tau) + \overline{A^2} u(\tau) \int \Gamma(\tau - \tau') b(|\tau'|) d\tau' \right\}. \end{aligned} \quad (74)$$

Как следует из (74), в данном “диагональном” представлении переменные  $T$  и  $\tau$  разделяются. Это позволяет связать структуру двумерного представления  $\hat{R}_r(T, \tau)$  на интервале анализа  $(t - \Sigma, t + \Sigma)$  со структурой одномерного локального-стационарного представления  $\hat{r}_i(\tau)$ :

$$\hat{r}_i(\tau) = \frac{1}{s} \left\{ \overline{A^2} \Gamma(\tau) + \overline{A^2} u(\tau) \int \Gamma(\tau - \tau') b(|\tau'|) d\tau' \right\}. \quad (75)$$

Как следует из (74), в  $\sim \Sigma$ -окрестности момента времени анализа  $t$  представление сигнала  $\hat{R}_r(T, \tau)$  с точностью до множителя  $U(T - t) \approx 1$  определяется функцией  $\hat{r}_i(\tau)$  (75), непосредственно связанной с функцией  $b(t)$  (44), (67), задающей структуру второго момента точечного процесса  $x(t')$ . Именно, с точностью до слагаемого  $\overline{A^2} \Gamma(\tau)/s$  представ-

ление  $\hat{r}_i(\tau)$  есть результат последовательных линейных операций свертки с ядром  $\Gamma(\tau)$  (73) и взвешивания с окном  $\overline{A^2} u(\tau)/s$  над  $b(|t|)$ . Другими словами,  $\hat{r}_i(\tau)$  представляет собой симметричный относительно нуля фрагмент длительности  $\sim 2\Sigma$ , сглаженной с окном (ядром) длительности  $\sim 2\sigma$  функции  $b(|t|)$ . Отметим, что при этом согласно (73) вся требуемая информация о форме импульса сигнала  $g(t')$  содержится в огибающей ее частотной характеристики  $|\gamma(f)|$  (в АЧХ). В частотной области соответствующая интерпретация (75) следующая: спектр  $\hat{r}_i(\tau)$  с точностью до подстилающей  $\overline{A^2} |\gamma(f)|^2/s$  представляет собой взвешенную с окном  $\overline{A^2} |\gamma(f)|^2/s$ , сглаженную с ядром  $v(f)$  длительности  $\sim 1/\Sigma$  регулярную часть спектра  $S(f)$  (57), где  $v(f)$  – частотная характеристика  $u(\tau)$ . Отметим, что в отличие от симметричного унимодального ядра  $v(f)$  весовое окно и кратная ему подстилающая – пропорциональные  $|\gamma(f)|^2$  функции, ввиду отмеченного условия  $\gamma(0) = 0$ , имеют максимумы в ненулевых симметричных частотах, определяемых колебательной составляющей формы импульса сигнала  $g(t')$ .

Более детальная характеристика структуры  $\hat{R}_r(T, \tau)$ , вытекающая из анализа  $\hat{r}_i(\tau)$  (75), может быть осуществлена в рассмотренном выше частном случае циклических процессов с одинаковыми по форме, но различно расположенными на полуоси  $s \geq 0$  плотностями  $\{\hat{p}_k(s)\}$ . Детализация структуры связана здесь с наличием у  $b(|t|)$  дополнительных (помимо  $\bar{s}$ ) временных параметров  $\beta$  – полуширины каждой из  $\{\hat{p}_k(s)\}$ , и  $\theta$  – половины размаха их расположений  $\{s_k\}$ . В наиболее интересном, рассмотренном выше случае,  $\beta + \theta \ll \bar{s}$ , особенности структуры  $\hat{r}_i(\tau)$  (75) будут определяться соотношением между  $\sigma$  и  $\beta, \theta$ , с одной стороны, и между самими  $\beta$  и  $\theta$  – с другой.

Именно в случае  $\beta > \theta$  циклический процесс по существу, как это выше отмечалось ( $\theta \rightarrow 0$ ), вырождается в рекуррентный со структурой функции  $b(t)$ , задаваемой выражением (69). При этом представление  $\hat{r}_i(\tau)$  (75) принимает следующий вид:

$$\hat{r}_i(\tau) = \frac{1}{s} \left\{ \overline{A^2} \Gamma(\tau) + \overline{A^2} u(\tau) \sum_{m=0}^{+\infty} R^{(m)}(t) \right\}, \quad (76)$$

где  $R^{(m)}(t)$  являются результатом свертки  $R_0^{(m)}$  и  $\Gamma(\tau)$  (73). Другими словами, при  $\beta > \sigma$  практиче-

ски  $R^{(m)}(t) \approx R_0^{(m)}$  и второе, содержательное слагаемое в  $\hat{r}_i(\tau)$  (76) имеет структуру второго момента связанного рекуррентного точечного процесса. В противном случае  $\beta < \sigma$ , пики  $R^{(m)}(t)$  до номеров  $m \sim (\sigma/\beta)^2$  практически имеют форму  $\Gamma(t)$  и только затем  $R^{(m)}(t) \approx R_0^{(m)}$ . Отметим также, что за счет весового окна  $u(\tau)$  на самом деле количество пиков  $R^{(m)}(t)$  в  $\hat{r}_i(\tau)$  конечно и равно  $\sim \Sigma/\bar{s}$ .

В другом случае  $\beta < \theta$ , подставляя выражение  $b(t)$  (67) в  $\hat{r}_i(\tau)$  (75), получим

$$\hat{r}_i(\tau) = \frac{1}{\bar{s}} \left\{ \bar{A}^2 \Gamma(\tau) + \bar{A}^2 u(\tau) \sum_{m=0}^{+\infty} \Delta_{\theta}^{(K)}(t) * R_0^{(m)}(t) \right\}, \quad (77)$$

где  $\Delta_{\theta}^{(K)}(t)$  является сверткой финитных ядер  $|U_{m,K}|^{-1} \Pi_{\theta}^{(K)}(t/|U_{m,K}|)$  и  $\Gamma(\tau)$  (73). При  $\theta > \sigma$  сглаженные ядра  $\Delta_{\theta}^{(K)}(t)$  практически совпадают с  $|U_{m,K}|^{-1} \Pi_{\theta}^{(K)}(t/|U_{m,K}|)$  (небольшая модификация может касаться коррекции величины  $\hat{q}$  в (63) при  $\beta < \sigma$ : вместо  $2\theta/\beta$  целесообразно использовать  $2\theta/\sigma$ ). При  $\theta < \sigma$  функция автоковариации  $\Gamma(\tau)$  полностью размоет структуру ядер  $|U_{m,K}|^{-1} \Pi_{\theta}^{(K)}(t/|U_{m,K}|)$  и данный случай будет практически не отличим от вырожденного случая  $\beta > \theta$  при  $\beta < \sigma$ . Повторим еще раз, что здесь, так же как и ранее, за счет весового окна  $u(\tau)$  количество пиков  $\Delta_{\theta}^{(K)}(t) * R_0^{(m)}(t)$  в  $\hat{r}_i(\tau)$  конечно и равно  $\sim \Sigma/\bar{s}$ .

## ЗАКЛЮЧЕНИЕ

Оценивая итоги изложенных выше рассмотрений, хотелось бы отметить следующее. Как нам представляется, разработка  $L_2$  теории (стационарных) циклических точечных процессов с ограниченным последствием может считаться на данный момент полностью выполненной. Именно, для общих циклических процессов в явном виде получены аналитические выражения первого и второго статистических моментов, также получена аналитическая формула спектра второго момента. Для локального описания циклического точечного процесса найдены его одно- и двумерные плотности распределения моментов времени точек (событий) процесса. Определены подобные функции восстановления в теории рекуррентных процессов, структурные функции теории циклических точечных процессов, такие как  $C_j^{(k)}(t)$  (22),  $D_j^{(k)}(t)$  (29),  $c_j(t), d_j(t)$  (42) и  $b(t)$  (44).

Другими словами, полностью разработан инструментарий для исследования в рамках

$L_2$  теории циклических точечных процессов практически всех теоретических аспектов, известных в рамках соответствующей теории рекуррентных процессов.

Приведенный в работе детальный анализ важного частного случая циклических процессов — случая, в котором плотности распределения длительностей интервалов имеют одинаковую форму, но различаются расположением, — открывает дорогу к применению разработанной теории в целом ряде приложений. В частности, отдельные элементы теории ранее были использованы для анализа сигналов ЭКГ на предмет оценки вариабельности сердечного ритма. В работах [8–11] изложен ряд результатов этих исследований, касающиеся дифференциации ЭКГ-записей без существенных аритмий или каких-либо других нарушений сердечного ритма и записей пациентов с гипертонической болезнью и высоким риском развития сосудистых событий. Полученные результаты позволяют выразить осторожный оптимизм также и в отношении перспектив развития прикладных аспектов разработанной теории.

## ПРИЛОЖЕНИЕ

Сведения о функциях Бесселя первого рода  $\mathcal{J}_n(z)$ , целого порядка  $n = 0, \pm 1, \dots$

Функции Бесселя первого рода  $\mathcal{J}_n(z)$  при целых значениях  $n = 0, \pm 1, \dots$  могут быть определены несколькими разными способами [14]. Помимо того, что они определяются как специальные решения одноименного дифференциального уравнения,  $\mathcal{J}_n(z)$  могут быть определены рядом гипергеометрического типа:

$$\begin{aligned} \mathcal{J}_n(z) &= \frac{1}{n!} \left(\frac{z}{2}\right)^n \sum_{m=0}^{+\infty} \frac{-1^m}{m!} \frac{n!}{(n+m)!} \left(\frac{z}{2}\right)^{2m} = \\ &= \frac{1}{n!} \left(\frac{z}{2}\right)^n \left[ 1 - \frac{1}{(n+1)} \left(\frac{z}{2}\right)^2 + \dots \right], \end{aligned} \quad (П1)$$

либо как коэффициенты при степенях  $w$  в разложении производящей функции:

$$\exp\left(\frac{z}{2} \left[w - \frac{1}{w}\right]\right) = \sum_{n=-\infty}^{+\infty} \mathcal{J}_n(z) w^n. \quad (П2)$$

Подстановка  $w = \exp[j\varphi]$  в (П2) приводит к формуле Якоби–Ангера (к разложению в ряд Фурье  $\exp[jz \sin(\varphi)]$ ):

$$\exp[jz \sin(\varphi)] = \sum_{n=-\infty}^{+\infty} \mathcal{J}_n(z) \exp(jn\varphi). \quad (П3)$$

Из формулы (П3) следует, в частности, соотношение

$$\begin{aligned}
& \frac{1}{K} \sum_{l=0}^{K-1} \exp \left[ jz \sin \left( \frac{2\pi}{K} \left( l - \frac{r}{2} \right) \right) \right] = \int_0^{2\pi} \exp [jz \sin (\varphi) - jm\varphi] d\varphi = \\
& = \sum_{-\infty}^{+\infty} \mathcal{F}_n(z) \exp \left[ -\pi j \frac{n}{K} r \right] \frac{1}{K} \sum_{l=0}^{K-1} \exp \left[ 2\pi j \frac{n}{K} l \right] = \sum_{-\infty}^{+\infty} \mathcal{F}_n(z) \int_0^{2\pi} \exp (j(n-m)\varphi) d\varphi = \quad (\text{П5}) \\
& = \sum_{p=-\infty}^{+\infty} (-1)^{pr} \mathcal{F}_{kp}(z). \quad (\text{П4}) \\
& \qquad \qquad \qquad = 2\pi \mathcal{F}_m(z).
\end{aligned}$$

Из (П3) также следует формула интеграла Бесселя:

В свою очередь, из (П5) следуют интегральные представления вида

$$\begin{aligned}
\mathcal{F}_m(z) &= \frac{1}{2\pi} \int_0^{2\pi} \exp [jz \sin (\varphi) - jm\varphi] d\varphi = \\
&= \frac{1}{2\pi} \int_{-\pi/2}^{\pi/2} \exp [jz \sin (\varphi)] \left\{ \exp [-jm\varphi] + (-1)^m \exp [jm\varphi] \right\} d\varphi = \\
&= \frac{1}{\pi} \int_{-\pi/2}^{\pi/2} \exp [jz \sin (\varphi)] (j)^m \cos \left[ m \left( \varphi + \frac{\pi}{2} \right) \right] d\varphi = \quad (\text{П6}) \\
&= \frac{(j)^m}{\pi} \int_{-1}^1 \frac{\exp [jzy]}{\sqrt{1-y^2}} \cos \left[ m \left( \arcsin (y) + \frac{\pi}{2} \right) \right] dy = \\
&= \frac{(-j)^m}{\pi} \int_{-1}^1 \frac{\exp [jzy]}{\sqrt{1-y^2}} T_m(y) dy,
\end{aligned}$$

где использовано, что  $\cos [m \arccos (y)] = T_m(y)$  – полиномы Чебышева первого рода. Взяв от обеих частей (П6) преобразование Фурье, получим фурье-образ  $\mathcal{F}_m(z)$  (см. также [15]):

$$\begin{aligned}
F[\mathcal{F}_m(z)](x) &= \int_{-\infty}^{+\infty} \exp [jxz] \mathcal{F}_m(z) dz = 2(-j)^m \int_{-1}^1 \delta(x+y) \frac{1}{\sqrt{1-y^2}} T_m(y) dy = \\
&= \begin{cases} \frac{(j)^m 2T_m(x)}{\sqrt{1-x^2}} & \text{для } |x| < 1, \\ 0 & \text{для } |x| > 1. \end{cases} \quad (\text{П7})
\end{aligned}$$

Из (П5) для  $\mathcal{F}_0(2z \sin(\psi))$  следует:

$$\begin{aligned}
\mathcal{F}_0(2z \sin(\psi)) &= \frac{1}{2\pi} \int_0^{2\pi} \exp [jz 2 \sin(\psi) \sin(\varphi)] d\varphi = \\
&= \frac{1}{2\pi} \int_0^{2\pi} \exp [jz \cos(\varphi - \psi)] \exp [-jz \cos(\varphi + \psi)] d\varphi = \\
&= \frac{1}{2\pi} \int_0^{2\pi} \exp \left[ jz \sin \left( \varphi - \psi + \frac{\pi}{2} \right) \right] \exp \left[ -jz \sin \left( \varphi + \psi + \frac{\pi}{2} \right) \right] d\varphi = \quad (\text{П8}) \\
&= \sum_{p=-\infty}^{+\infty} \sum_{q=-\infty}^{+\infty} \mathcal{F}_p(z) \mathcal{F}_q(z) \exp [-\psi(p+q)] \frac{1}{2\pi} \int_0^{2\pi} \exp \left[ j \left( \varphi + \frac{\pi}{2} \right) (p-q) \right] d\varphi = \\
&= \sum_{p=-\infty}^{+\infty} \mathcal{F}_p^2(z) \exp [-2p\psi].
\end{aligned}$$

Используя в (П6) формулу Родрига для полиномов Чебышева  $T_m(y) = (-1)^m \frac{\sqrt{\pi}}{2^m \Gamma(m + \frac{1}{2})} \times$   
 $\times \sqrt{1-y^2} \frac{\partial^m}{\partial y^m} (1-y^2)^{m-\frac{1}{2}}$ , получим интеграл Пуассона:

$$\begin{aligned} \mathcal{F}_m(z) &= \frac{(-j)^m}{\pi} \int_{-1}^1 \frac{\exp[jzy]}{\sqrt{1-y^2}} T_m(y) dy = \frac{(j)^m}{\pi} \frac{\sqrt{\pi}}{2^m \Gamma(m + \frac{1}{2})} \int_{-1}^1 \exp[jzy] \frac{\partial^m}{\partial y^m} (1-y^2)^{m-\frac{1}{2}} dy = \\ &= (j)^m \frac{(-1)^m}{2^m \sqrt{\pi} \Gamma(m + \frac{1}{2})} [jz]^m \int_{-1}^1 \exp[jzy] (1-y^2)^{m-\frac{1}{2}} dy = \frac{1}{\sqrt{\pi} \Gamma(m + \frac{1}{2})} \left(\frac{z}{2}\right)^m \int_{-1}^1 \exp[jzy] (1-y^2)^{m-\frac{1}{2}} dy = \quad (\text{П9}) \\ &= \frac{2}{\sqrt{\pi} \Gamma(m + \frac{1}{2})} \left(\frac{z}{2}\right)^m \int_0^1 \cos[zy] (1-y^2)^{m-\frac{1}{2}} dy. \end{aligned}$$

Из интеграла Пуассона (П9) следует следующая оценка для  $|\mathcal{F}_m(z)|$ :

$$\begin{aligned} |\mathcal{F}_m(z)| &< \frac{2}{\sqrt{\pi} \Gamma(m + \frac{1}{2})} \left(\frac{|z|}{2}\right)^m \int_0^1 (1-y^2)^{m-\frac{1}{2}} dy = \\ &= \frac{1}{\sqrt{\pi} \Gamma(m + \frac{1}{2})} \left(\frac{|z|}{2}\right)^m \int_0^1 t^{m-\frac{1}{2}} (1-t)^{\frac{1}{2}} dt = \\ &= \frac{1}{\sqrt{\pi} \Gamma(m + \frac{1}{2})} \left(\frac{|z|}{2}\right)^m B\left(m + \frac{1}{2}; \frac{1}{2}\right) = \quad (\text{П10}) \\ &= \frac{1}{\sqrt{\pi} \Gamma(m + \frac{1}{2})} \left(\frac{|z|}{2}\right)^m \frac{\Gamma(m + \frac{1}{2}) \Gamma(\frac{1}{2})}{\Gamma(m + 1)} = \\ &= \frac{1}{\Gamma(m + 1)} \left(\frac{|z|}{2}\right)^m = \frac{1}{m!} \left(\frac{|z|}{2}\right)^m. \end{aligned}$$

Сравнивая (П10) и (П1), можно сделать вывод, что  $\mathcal{F}_m(z)$  на всей действительной оси не превосходит по абсолютной величине модуля своего первого члена в разложении в ряд по степеням аргумента  $z$ .

#### ФИНАНСИРОВАНИЕ РАБОТЫ

Работа выполнена при финансовой поддержке Российского фонда фундаментальных исследований (проект № 18-29-02108 мк).

#### СПИСОК ЛИТЕРАТУРЫ

1. *Napolitano A.* Cyclostationary Processes and Time Series. Theory, Applications, and Generalizations. Elsevier, 2019.
2. *Хинчин А.Я.* // Тр. МИАН СССР. 1955. Т. 49. С. 3.
3. *Большаков И.А.* Статистические проблемы выделения потока сигналов из шума. М.: Сов. Радио, 1969.
4. *Cox D.R., Miller H.D.* The Theory of Stochastic Processes. L.: Methuen & Co LTD, 1970.
5. *Barbieri R., Matten E.C., Alabi A.A., Brown E.N.* // American J. Physiol. Heart Circ. Physiol. 2005. V. 288. № 1. P. H424.
6. *Serfozo R.* Basics of Applied Stochastic Processes. Berlin: Springer-Verlag, 2009.
7. Анциперов В.Е. // Журн. радиоэлектроники. 2015. № 6. <http://jre.cplire.ru/jre/jun15/8/text.pdf>.
8. *Анциперов В.Е.* // Тез. докл. Второй российской конф. с международным участием "Физика – наукам о жизни". СПб.: ФТИ им. А.Ф. Иоффе, 2017. С. 61.
9. Анциперов В.Е. // Сб. трудов XI Всерос. конф. "Радиолокация и радиосвязь". М., 2017. С. 359.
10. *Antsiperov V.* // Биомед. радиоэлектроника. 2018. Т. 7. С. 61.
11. *Анциперов В.Е.* // Физ. основы приборостроения. 2018. Т. 7. № 4. С. 70. <https://doi.org/10.25210/jfor-1804-070077>
12. *Тихонов В.И., Миронов М.А.* Марковские процессы. М.: Сов. радио, 1977.
13. *Рытов С.М.* Введение в статистическую радиофизику. Ч. 1. Случайные процессы. М.: Наука, 1976.
14. *Бейтмен Г., Эрдейи А.* Высшие трансцендентные функции / Пер. с англ. Н.Я. Виленкина. М.: Наука, 1974. Т. 2.
15. *Бейтмен Г., Эрдейи А.* Таблицы интегральных преобразований: Преобразования Фурье, Лапласа, Меллина. М.: Наука, 1969. Т. 1.
16. *Bartlett M.S.* // Proc. Fifth Berkeley Symp. Mathem. Statistics and Probability. Berkeley: Univ. of California Press., 1967. V. 3. P. 135.